

# Analiza în detaliu a orbitalului solar

---

## Bibliografie

1. E.M.Standish - *Keplerian Elements for Approximate Positions of the Major Planets*, JPL Caltech
2. Farshad Barman - *Astronomy Projects for Calculus and Differential Equations* 2012
3. H. Karttunen and al. - *Fundamental Astronomy* 4 Ed. Springer 2007
4. [http://filosofia.obiectuala.ro/ro/aplicatii/Orbitali\\_Planetari.pdf](http://filosofia.obiectuala.ro/ro/aplicatii/Orbitali_Planetari.pdf)
5. [http://filosofia.obiectuala.ro/ro/aplicatii/Orbitalul\\_Solar\\_si\\_activitatea\\_solara.pdf](http://filosofia.obiectuala.ro/ro/aplicatii/Orbitalul_Solar_si_activitatea_solara.pdf)
6. [http://filosofia.obiectuala.ro/ro/aplicatii/Introducere\\_In\\_Filosofia\\_Obiectuala.pdf](http://filosofia.obiectuala.ro/ro/aplicatii/Introducere_In_Filosofia_Obiectuala.pdf)
7. Roy Martin - *How do the planets affect the Sun ?* March 17, 2013
8. Arvind Bhatnagar, William Livingston - *Fundamental of Solar Astronomy* World Scientific Publishing Co 2005.

## 1 - Modelarea matematică

### 1.1 - Introducere

Pentru început să reamintim cititorului ce este un *orbital*, noțiune descrisă pe larg în [4]: Un orbital al unui corp astronomic (CA) ce aparține unui sistem planetar (SP) are în componere următoarele atribute invariante:

– Zona spațială în care se înscrie mișcarea orbitală (definită de semi-axa mare a orbitei, excentricitate și înclinarea planului orbital), atribute definite față de centrul de masă (CM) al SP și față de planul ecuatorial solar;

– Perioada orbitală sau inversul acesteia - *frecvența orbitală*.

Spre deosebire de lucrarea anterioară [5], în care mișcarea planetelor în urma căreia rezulta mișcarea solară era modelată pur teoretic, fără o legătură directă cu mișcarea reală a planetelor, în această lucrare vom folosi o metodă de aproximare a poziției planetelor indicată în [1], în care este descrisă metoda de calcul a pozițiilor planetelor folosind tabele de efemeride valabile în anumite intervale temporale, din care am ales tabelul cu cel mai lung interval (3000BC-3000AC). Pentru rezolvarea ecuației lui Kepler însă am folosit o altă metodă față de cea din [1], metodă indicată în [2] în care soluțiile ecuației Kepler sunt approximate cu funcții Bessel de ordinul I sau II. Cu toate că în [1] este specificat în mod expres că în cazul planetelor gigant se vor folosi pentru calculul anomaliei medii  $M$  corecțiile indicate în tabelul 1.5.1.B, pentru început vom neglija aceste corecții din motive pe care le vom discuta spre sfârșitul acestei lucrări.

### 1.2 - Elipsa ca proiecție a unui cerc

Fie un cerc cu raza  $a$  într-un plan  $XY$ , unde axa  $X$  este orizontală, iar axa  $Y$  verticală, originea fiind în centrul cercului. Fie un al doilea plan  $XY'$ , înclinat cu unghiul  $\varphi$  față de planul  $XY$  în jurul axei  $X$ . Dacă proiectăm cercul din planul  $XY$  în planul  $XY'$ , vom obține o elipsă cu axa mare  $a$  colineară cu axa  $X$  și axa mică:

$$b = a \cdot \cos(\varphi) \quad (1.2.1)$$

colineară cu axa  $Y'$ . Într-o elipsă există ecuația:

$$\varepsilon^2 = a^2 - b^2 \quad (1.2.2)$$

unde  $\varepsilon$  este *excentricitatea liniară* sau *distanța focală*. Mărimea:

$$e = \frac{\varepsilon}{a} \quad (1.2.3)$$

se numește *excentricitate numerică*. Dacă înlocuim ecuațiile 1.2.1 și 1.2.3 în 1.2.2 vom obține:

$$e^2 = 1 - \cos^2(\varphi) \quad (1.2.4)$$

adică:

$$e = \sin(\varphi) \quad (1.2.5)$$

sau:

$$\varphi = \arcsin(e) \quad (1.2.6)$$

Din ecuația 1.2.6 putem determina  $\varphi$  pentru traiectoriile planetelor actuale, cunoscută fiind  $e$  (excentricitatea orbitei) din tabelele cu datele orbitelor, iar din ecuația 1.2.1 putem determina  $b$ , cunoscută fiind  $a$  (semiaxa mare a orbitei). Din ecuațiile 1.2.2 și 1.2.3 rezultă:

$$b_1 = a\sqrt{1-e^2} \quad (1.2.7)$$

iar din ecuațiile 1.2.1 și 1.2.6 rezultă:

$$b_2 = a \cos(\arcsin(e)) \quad (1.2.8)$$

Să luăm de exemplu cazul Terrei, unde  $a = 1UA$ ,  $e = 0.01671022$ . Cu aceste valori rezultă  $b_1 = b_2 = 0.9998603745 UA$ , o dovadă că ecuațiile 1.2.7 și 1.2.8 sunt echivalente.

Comentariul 1.2.1: Întregul paragraf 1.2 a avut ca scop justificarea înlocuirii expresiei  $\sqrt{1-e^2}$  cu  $\cos(\arcsin(e))$  în ecuațiile din paragraful următor.

### 1.3 - Mișcarea pe o traiectorie eliptică

Dacă raza vectoare din cercul de rază  $a$  execută o mișcare de rotație uniformă cu perioada  $T$ , unghiul dintre raza vectoare și axa  $X$  se numește (în varianta astronomilor [3]) *anomalie excentrică*  $E$ . Pe traiectoria eliptică rezultată din proiecția cercului de rază  $a$ , raza vectoare a planetei  $r(x, y)$  cu originea într-un focar va executa o rotație cu viteză neuniformă, dar cu aceeași perioadă  $T$  ( $t$  fiind timpul față de momentul trecerii prin periheliu), în acest caz unghiul  $\nu$  al razei vectoare a planetei față de axa  $X$  este numit *anomalie adevărată*, iar mărimea:

$$M = \frac{2\pi}{T} \cdot t \quad (1.3.1)$$

este numită *anomalie medie*. Între aceste mărimi există o relație numită *ecuația lui Kepler*:

$$M = E - e \cdot \sin(E) \quad (1.3.2)$$

Comentariul 1.3.1: Termenul  $e \cdot \sin(E)$  este adimensional (numeric), dar analiza dimensională a relației 1.3.2 ne spune că acest termen trebuie să aibă dimensiunea unui unghi, așa că în acest caz lui  $e$  îi va fi atribuită fie dimensiunea în radiani (valoarea numerică neschimbată), fie în grade prin multiplicarea cu  $180/\pi$  (vezi [1]).

Ecuația 1.3.2 este o ecuație transcendentă, ale cărei soluții (conform [2]) au fost găsite de Friedrich Bessel sub forma unor serii de puteri:

$$E = M + 2 \cdot \sum_{n=1}^{\infty} \frac{J_n(n \cdot e)}{n} \sin(M) \quad (1.3.3)$$

unde  $J_n(x)$  este funcția Bessel de ordinul  $n$ :

$$J_n(x) = \sum_{i=0}^{\infty} \frac{(-1)^i \cdot x^{2i+n}}{i! \cdot (i+n)! \cdot 2^{2i+n}} \quad (1.3.4)$$

Pentru excentricități mici ( $e \leq 0.21$ , cazul planetelor din sistemul nostru planetar) este nevoie doar de primul termen al seriei ( $e$ ) pentru a menține eroarea de poziție orbitală mai mică de 4,1%. Pentru o precizie mai bună al doilea termen este  $e^2/2$ . În final, ecuațiile ce dau

pozițiile unei planete în funcție de timp față de axa X (axa periheliu-afeliu) în cazul ignorării ecuației Kepler sunt:

$$\begin{aligned} x(t) &\cong a \cdot \cos(M) - a \cdot e = a \cdot [\cos(M) - e] \\ y(t) &\cong b \cdot \sin(M) = a \cdot \sin(M) \cdot \cos(\arcsin(e)) = a \cdot \sin(M) \cdot \sqrt{1 - e^2} \end{aligned} \quad (1.3.5)$$

sau ținând cont de ecuația Kepler pentru  $e \leq 0.21$ :

$$\begin{aligned} x(t) &\cong a \cdot \cos[M + e \cdot \sin(M)] - a \cdot e = a \cdot [\cos[M + e \cdot \sin(M)] - e] \\ y(t) &\cong a \cdot \sin[M + e \cdot \sin(M)] \cdot \cos(\arcsin(e)) \end{aligned} \quad (1.3.6)$$

iar în final, pentru o aproximare mai bună:

$$\begin{aligned} x(t) &\cong a \cdot [\cos[M + e \cdot \sin(M) + \frac{e^2}{2} \cdot \sin(2M)] - e] \\ y(t) &\cong a \cdot \sin[M + e \cdot \sin(M) + \frac{e^2}{2} \cdot \sin(2M)] \cdot \cos(\arcsin(e)) \end{aligned} \quad (1.3.7)$$

**Atenție!** În relațiile 1.3.6, 1.3.7 se aplică pentru  $e$  sau  $e^2/2$  corecția indicată în comentariul 1.3.1. De remarcat că aceste ecuații sunt valabile pentru mișcarea unei planete pe o traiectorie eliptică heliocentrică în condiții speciale, adică axa apsidelor (axa periheliu-afeliu) este colineară cu axa X, iar timpul de start este momentul trecerii prin periheliu. Nu s-a ținut cont de asemenea de faptul că traiectoriile reale ale planetelor din sistemul nostru solar nu sunt coplanare, dar diferențele de înclinare față de planul ecuatorial solar ale orbitelor planetelor gigant<sup>1</sup> sunt mai mici de 0.1 radiani așa că pot fi neglijate.

#### 1.4 - Mișcarea elementelor SP față de CM al SP (în coordonate baricentrice)

Fie un SP reprezentat în fig. 1.4.1 format din  $n$  corpuri astronomice (CA) de mici dimensiuni (planete), de mase  $m_1, m_2, \dots, m_n$  ce orbitează în jurul unui CA de mare dimensiune (Soarele) cu masa  $m_S$ . Față de un sistem de referință 2D extern cu originea O și axele XY, elementele SP au vectorii de poziție spațială  $\bar{r}_1, \bar{r}_2, \dots, \bar{r}_n$  și  $\bar{r}_S$ .

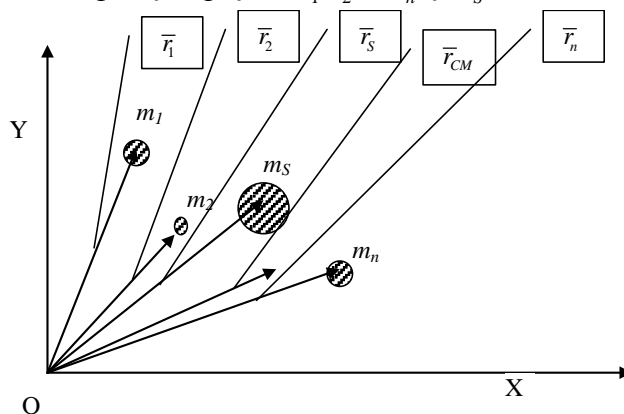


Fig. 1.4.1

În aceste condiții, centrul de masă CM al SP are vectorul de poziție  $\bar{r}_{CM}$  dat de ecuația:

$$\bar{r}_{CM} = \frac{m_1 \bar{r}_1 + m_2 \bar{r}_2 + \dots + m_n \bar{r}_n + m_S \bar{r}_S}{m_1 + m_2 + \dots + m_n + m_S} \quad (1.4.1)$$

Dacă mutăm originea O a sistemului de referință în CM, acest fapt este echivalent cu a scrie în ecuația 1.4.1  $\bar{r}_{CM} = 0$ . Notând  $m_1 + m_2 + \dots + m_n + m_S = m_T$ , unde  $m_T$  este masa totală a SP, ecuația 1.4.1 devine:

<sup>1</sup> Pentru analizele pe termen lung ale parametrilor orbitalului solar sunt importante doar mișcările celor patru planete gigant, restul planetelor având (cu câteva excepții) doar contribuții minore.

$$\frac{m_S}{m_T} \bar{r}_S = -\frac{m_1}{m_T} \bar{r}_1 - \frac{m_2}{m_T} \bar{r}_2 - \dots - \frac{m_n}{m_T} \bar{r}_n \quad (1.4.2)$$

de unde rezultă vectorul de poziție al Soarelui față de CM:

$$\bar{r}_S = -\frac{m_1}{m_S} \bar{r}_1 - \frac{m_2}{m_S} \bar{r}_2 - \dots - \frac{m_n}{m_S} \bar{r}_n \quad (1.4.3)$$

Notând  $\frac{m_S}{m_i} = q_i$   $i \in [1, n]$ , ecuația 1.4.3 devine:

$$\bar{r}_S = -\sum_{i=1}^n \frac{\bar{r}_i}{q_i} \quad (1.4.4)$$

### 1.5 - Mișcarea reală a unei planete în coordonate heliocentrice

În sistemul de coordonate heliocentric planul de referință este planul ecuatorial solar, în care axa de referință  $X_{ecl}$  este axa echinoctiilor (vezi fig. 1.5.1). Mărimile implicate în definierea orbitelor planetare în acest sistem de referință sunt:

- $\Omega$  longitudinea nodului ascendent NA;
- $\omega$  argumentul periheliului;
- $\varpi = \omega + \Omega$  longitudinea periheliului;
- $M$  este anomalia medie;
- $v$  este anomalia adevărată;
- $r$  este raza vectoare a planetei;
- $L = M + \omega + \Omega$  este longitudinea medie

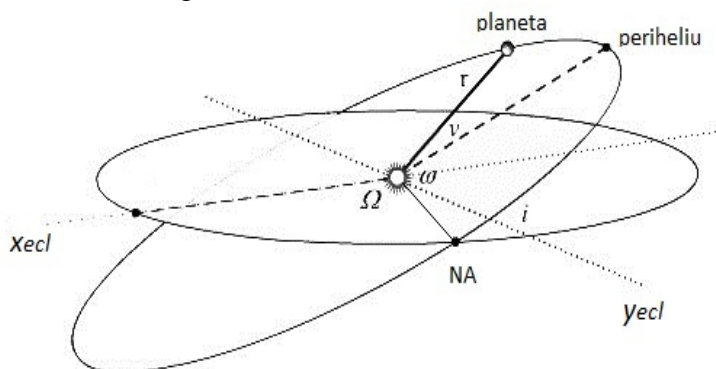


Fig. 1.5.1

Aproximarea poziției unei planete poate fi făcută utilizând elementele orbitale deja menționate împreună cu cele indicate mai jos, valorile acestora și ratele de variație seculară fiind date în tabelele 1.5.1.A și 1.5.1.B, valori valabile pentru intervalul temporal 3000BC - 3000AD.

Elementele orbitale împreună cu variațiile lor seculare sunt:

- $a_0, \dot{a}$  semiaxa mare a orbitei [UA, UA/secol];
- $e_0, \dot{e}$  excentricitatea [ , /secol];
- $i_0, \dot{i}$  înclinarea orbitei [grade, grade/secol];
- $L_0, \dot{L}$  longitudinea medie [grade, grade/secol];
- $\varpi_0, \dot{\varpi}$  longitudinea periheliului [grade, grade/secol];
- $\Omega_0, \dot{\Omega}$  longitudinea nodului ascendent [grade, grade/secol];

Pentru calculul elementelor orbitale se calculează  $a = a_0 + \dot{a} \cdot t$ ,  $e = e_0 + \dot{e} \cdot t$  etc. unde  $t$  este numărul de secole trecute începând cu ziua  $t_{efe} = J2000.0$ .

Cu datele din tabelele 1.5.1.A și 1.5.1.B se calculează apoi  $M$  cu ecuația:

$$M = L - \varpi + b \cdot t^2 + c \cdot \cos(f \cdot t) + s \cdot \sin(f \cdot t) \quad (1.5.1)$$

Acum putem determina vectorul de poziție  $r(t) = x(t) + y(t)$  al planetei în planul orbitei sale (axa X fiind axa apsidelor) cu relațiile 1.3.6 sau 1.3.7. În continuare, prin rotirea axelor de coordonate vom obține coordonatele ecliptice ale planetelor (vezi fig. 1.5.1) cu ecuațiile:

$$xe(t) = (\cos \omega \cos \Omega - \sin \omega \sin \Omega \cos i) \cdot x(t) + (-\sin \omega \cos \Omega - \cos \omega \sin \Omega \cos i) \cdot y(t) \quad (1.5.2)$$

$$ye(t) = (\cos \omega \sin \Omega + \sin \omega \cos \Omega \cos i) \cdot x(t) + (-\sin \omega \sin \Omega + \cos \omega \cos \Omega \cos i) \cdot y(t) \quad (1.5.3)$$

$$ze(t) = (\sin \omega \sin i) \cdot x(t) + (\cos \omega \sin i) \cdot y(t) \quad (1.5.4)$$

Data fiind înclinarea mică a planelor orbitale, mai ales pentru planetele gigant, vom considera  $i = 0$ , așa că vor rămâne doar relațiile 1.5.2 și 1.5.3 (în varianta redusă):

$$xe(t) = (\cos \omega \cos \Omega - \sin \omega \sin \Omega) \cdot x(t) + (-\sin \omega \cos \Omega - \cos \omega \sin \Omega) \cdot y(t) \quad (1.5.5)$$

$$ye(t) = (\cos \omega \sin \Omega + \sin \omega \cos \Omega) \cdot x(t) + (-\sin \omega \sin \Omega + \cos \omega \cos \Omega) \cdot y(t) \quad (1.5.6)$$

unde  $xe$  și  $ye$  sunt coordonatele ecliptice ale planetelor după axele  $X_{ecl}$  și  $Y_{ecl}$  din fig. 1.5.1.

Comentariul 1.5.1: Trebuie menționat că în ecuațiile 1.5.5 și 1.5.6 vectorii de poziție planetari sunt calculați în coordonate ecliptice heliocentrice, în timp ce vectorul de poziție solar dat de ecuația 1.4.4 este calculat în coordonatele centrului de masă al SP (baricentrice). Dat fiind faptul că distanța soarelui față de CM poate ajunge până la  $1.58 \cdot 10^6$  km, asta înseamnă o eroare maximă de 2.73% pentru vectorul de poziție al lui Mercur, dar o eroare mult mai mică pentru pozițiile planetelor gigant care au contribuția cea mai mare la poziția solară față de CM.

Tabelul 1.5.1.A

Planeta	$a_0, \dot{a}$ ua,ua/secol	$e_0, \dot{e}$ rad,rad/secol	$i_0, \dot{i}$ gr.,gr./secol	$L_0, \dot{L}$ gr.,gr./secol	$\varpi_0, \dot{\varpi}$ gr.,gr./secol	$\Omega_0, \dot{\Omega}$ gr.,gr./secol
Me	0.38709843 0.00000000	0.20563661 0.00002123	7.00559432 -0.00590158	252.25166724 149472.67486623	77.45771895 0.15940013	48.33961819 -0.12214182
Ve	0.72332102 -0.00000026	0.00676399 -0.00005107	3.39777545 0.00043494	181.97970850 58517.81560260	131.76755713 0.05679648	76.67261496 -0.27274174
Te	1.00000018 -0.00000003	0.01673163 -0.00003661	-0.00054346 -0.01337178	100.46691572 35999.37306329	102.93005885 0.31795260	-5.11260389 -0.24123856
Ma	1.52371243 0.00000097	0.09336511 0.00009149	1.85181869 -0.00724757	-4.56813164 19140.29934243	-23.91744784 0.45223625	49.71320984 -0.26852431
Ju	5.20248019 -0.00002864	0.04853590 0.00018026	1.29861416 -0.00322699	34.33479152 3034.90371757	14.27495244 0.18199196	100.29282654 0.13024619
Sa	9.54149883 -0.00003065	0.05550825 -0.00032044	2.49424102 0.00451969	50.07571329 1222.11494724	92.86136063 0.54179478	113.63998702 -0.25015002
Ur	19.18797948 -0.00020455	0.04685740 -0.00001550	0.77298127 -0.00180155	314.20276625 428.49512595	172.43404441 0.09266985	73.96250215 0.05739699
Ne	30.06952752 0.00006447	0.00895439 0.00000818	1.77005520 0.00022400	304.22289287 218.46515314	46.68158724 0.01009938	131.78635853 -0.00606302
Pl	39.48686035 0.00449751	0.24885238 0.00006016	17.14104260 0.00000501	238.96535011 145.18042903	224.09702598 -0.00968827	110.30167986 -0.00809981

Termeni adiționali ce trebuie adăugați la calculul lui  $M$  pentru planetele gigant, în același interval temporal 3000BC - 3000AD.

Tabelul 1.5.1.B

Planeta	b	c	s	f
Ju	-0.00012452	0.06064060	-0.35635438	38.35125
Sa	0.00025899	-0.13434469	0.87320147	38.35125
Ur	0.00058331	-0.97731848	0.17689245	7.67025
Ne	-0.00041348	0.68346318	-0.10162547	7.67025

## 2 - Distribuțiile principale ale orbitalului solar

### 2.1 - Distribuția spațio-temporală primară<sup>2</sup> a poziției Soarelui

Așa cum menționam în introducerea acestei lucrări, pentru început vom neglija corecțiile introduse de tabelul 1.5.1.B, acest fapt însemnând că anomalia medie  $M$  a unei planete se va calcula cu ecuația:

$$M = L - \varpi \quad (2.1.1)$$

valabilă atât pentru planetele telurice cât și pentru planetele gigant. Despre motivele acestei neglijiări vom discuta spre finalul acestei lucrări.

Distribuția temporală primară a poziției Soarelui în mișcarea sa în jurul centrului de masă al sistemului planetar este dată de ecuațiile:

$$x_{es}(t) = -\sum_{i=0}^7 \frac{xe(i,t)}{q_i} \cdot UA; \quad y_{es}(t) = -\sum_{i=0}^7 \frac{ye(i,t)}{q_i} \cdot UA \quad [km] \quad (2.1.2)$$

unde  $x_{es}$  este coordonata solară după axa ecliptică  $X_{ecl}$  (axa echinoctiilor, vezi fig. 1.5.1),  $y_{es}$  este coordonata solară după axa  $Y_{ecl}$ ,  $xe(i,t)$  și  $ye(i,t)$  sunt coordonatele ecliptice ale planetei  $i$  ( $i \in [0, 7]$ ) funcție de  $t$  (date de ecuațiile 1.5.5 și 1.5.6), iar  $q_i$  este raportul dintre masa solară și masa planetei  $i$ .  $UA = 1.4959787 \cdot 10^8$  km este unitatea astronomică de distanță. Timpul  $t$  este exprimat în secole față de anul referință J2000, incrementul temporal fiind de  $Nz = 8.359990576$  zile (<sup>3</sup>). Reprezentarea grafică a ecuațiilor 2.1.2 în coordonate carteziene liniare este dată în fig. 2.1.1.

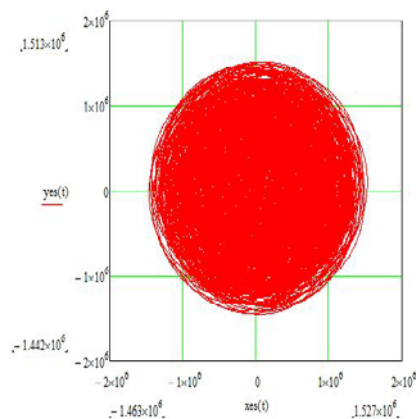


Fig. 2.1.1 Orbitalul solar în coordonate carteziene liniare

Din fig. 2.1.1 se poate observa că domeniul spațial al orbitalului solar este ocupat aproape uniform, dar observația nu este corectă - în imediata apropiere a CM (cu coordonatele 0,0) domeniul spațial<sup>4</sup> este vid. Acest aspect este vizibil în reprezentarea carteziană logaritmică din fig. 2.1.2.

<sup>2</sup> Denumirile distribuțiilor sunt cele introduse în cap. 2 al lucrării [6].

<sup>3</sup> Incrementul temporal  $Nz$  zile a rezultat în urma divizării intervalului temporal de 60 de secole în care este valabil tabelul efemeridelor (3000BC-3000AC) cu numărul maxim de eşantioane admis de softul utilizat pentru modelare (Mathcad 14) pentru grafice ( $2^{18}$ ).

<sup>4</sup> În apropierea acestui domeniu accelerația radială solară atinge valori foarte mari.

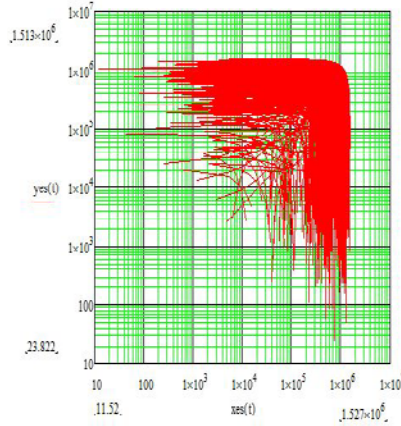


Fig. 2.1.2 Orbitalul solar în coordonate carteziene logaritmice

Din fig. 2.1.2 vedem că zona spațială cu o rază mai mică de cca  $2 \cdot 10^3$  km față de CM este neocupată, adică apropierea Soarelui de această zonă este extrem de rară.

## 2.2 - Distribuția derivată de ordinul I a poziției solare

Componentele distribuției temporale derivate a poziției solare (viteza orbitală) sunt:

$$v_{xes}(t) = \frac{xes(t) - xes(t - \Delta t)}{N_z}; \quad v_{yes}(t) = \frac{yes(t) - yes(t - \Delta t)}{N_z} \quad \left[ \frac{km}{zi} \right] \quad (2.2.1)$$

unde  $xes(t)$  și  $yes(t)$  sunt date de ecuațiile 2.1.2, iar  $\Delta t = 2.28884326 \cdot 10^{-4}$  este incrementul temporal în secole ce corespunde celor  $N_z$  zile. Reprezentarea grafică a ecuațiilor 2.2.1 este dată în fig. 2.2.1.

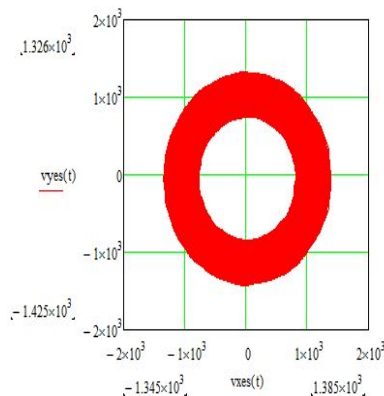


Fig. 2.2.1 Distribuția temporală a vitezei orbitale solare în jurul CM

Comentariul 2.2.1: Zona colorată din fig. 2.2.1 reprezintă domeniul valorilor vitezei orbitale solare, domeniu aflat între două limite: exterioară și interioară. Limita exterioară, cu valorile marcate pe figură este formată din contribuția lui Jupiter la viteza orbitală solară (prezentată în fig. 3.1.2) plus suma contribuțiilor celorlalte planete (mai ales ale celor giganti) la viteza orbitală solară prezentate în par. 3. Limita interioară este formată tot din contribuția lui Jupiter la viteza orbitală solară minus suma contribuțiilor celorlalte planete. Se prefigurează astfel rolul major al planetei Jupiter în procesele ce au loc în sistemul nostru solar.

Distribuția temporală a modului vitezei orbitale solare  $ves(t) = \sqrt{v_{xes}(t)^2 + v_{yes}(t)^2}$  este reprezentată în fig. 2.2.2, axa X fiind gradată în secole (valoarea 0 corespunde anului J2000).

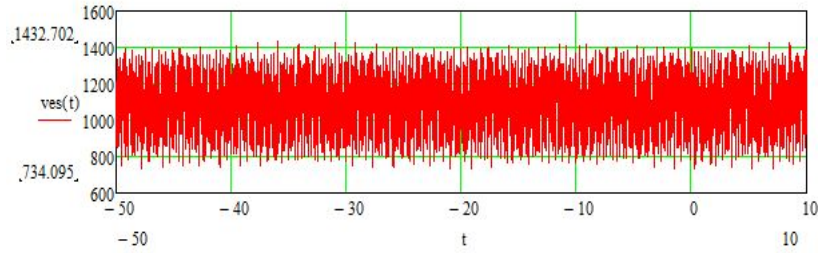


Fig. 2.2.2 Distribuția temporală a modului vitezei orbitale solare.

### 2.3 - Distribuția derivată de ordinul II a poziției solare

Componentele distribuției temporale derivate a vitezei solare (acceleerația orbitală solară) sunt:

$$axes(t) = \frac{vxes(t) - vxes(t - \Delta t)}{Nz}; ayes(t) = \frac{vyes(t) - vyes(t - \Delta t)}{Nz} \left[ \frac{km}{zi^2} \right] \quad (2.3.1)$$

iar reprezentarea grafică:

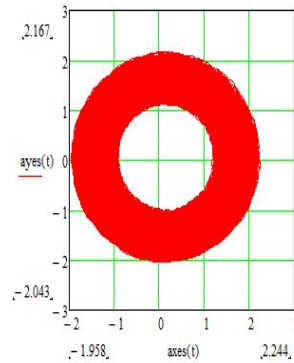


Fig. 2.3.1 Distribuția accelerației orbitale solare în jurul CM

Comentariul 2.3.1: Și în cazul accelerației orbitale solare se remarcă un domeniu în care se încadrează valorile acestui parametru solar, domeniu aflat între cele două limite: exterioară și interioară. La fel ca în cazul vitezei orbitale solare, limita exterioară cu valorile marcate pe figură este dată de contribuția lui Jupiter la accelerația orbitală solară (prezentată în fig. 3.1.4) plus suma celorlalte contribuții planetare. Limita interioară este dată tot de contribuția joviană la accelerația orbitală solară minus suma celorlalte contribuții planetare la acest parametru.

Distribuția temporală a modului accelerației orbitale solare  $aes(t) = \sqrt{axes(t)^2 + ayes(t)^2}$  este reprezentată în fig. 2.3.2:

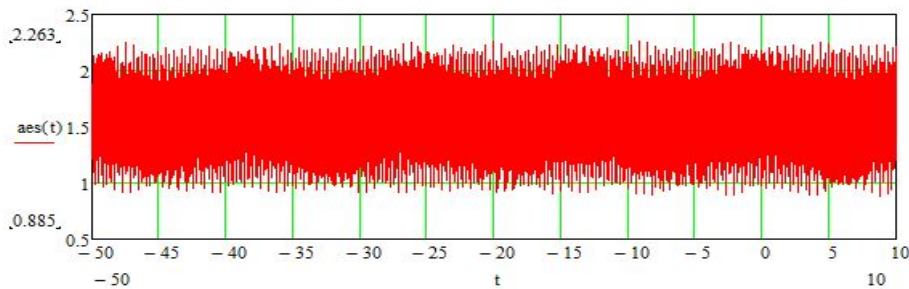


Fig. 2.3.2 Distribuția temporală a modului accelerației orbitale solare

### 2.4 - Distribuțiile distanței solare față de CM

Distanța Soarelui față de CM este dată de modulul vectorului de poziție solar:

$$res(t) = \sqrt{xes(t)^2 + yes(t)^2} \quad (2.4.1)$$

(vezi fig. 2.4.1 a și b) iar distribuțiile derivate ale acestei distanțe sunt:

$$vres(t) = \frac{res(t) - res(t - \Delta t)}{Nz} \quad (2.4.2)$$



pentru viteza radială solară (vezi fig. 2.4.2) și:

$$ares(t) = \frac{vres(t) - vres(t - \Delta t)}{Nz} \quad (2.4.3)$$

pentru accelerația radială solară (vezi fig. 2.4.3).

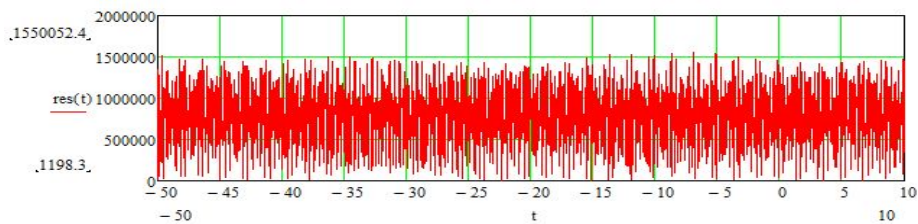


Fig. 2.4.1.a Modulul vectorului de poziție solar linear

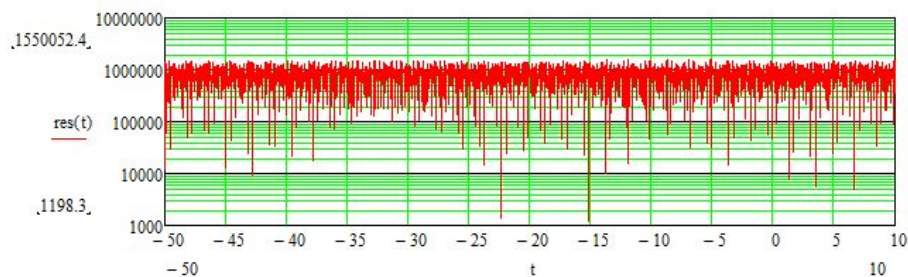


Fig. 2.4.1.b Modulul vectorului de poziție solar logaritmic

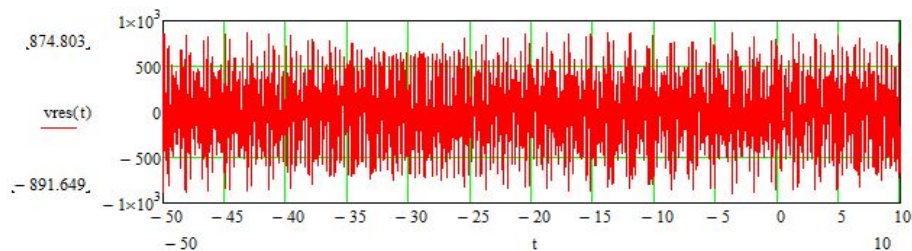


Fig. 2.4.2 Viteza radială solară

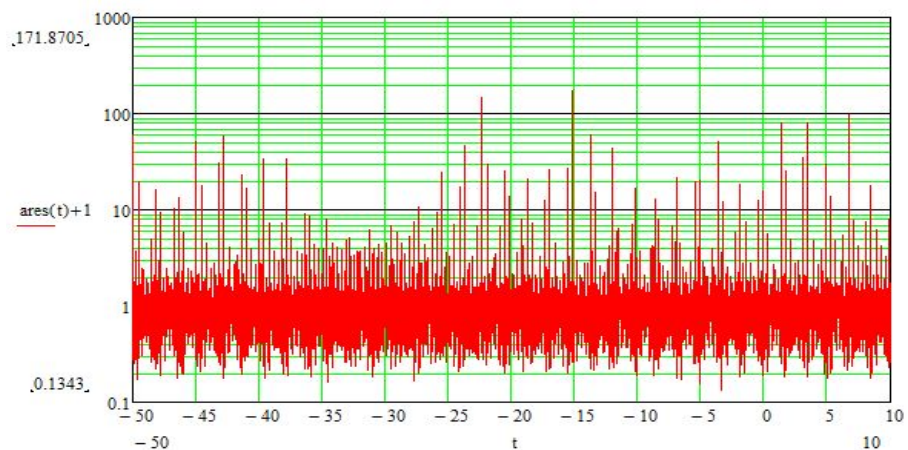


Fig. 2.4.3 Accelerația radială solară

Comentariul 2.4.1: În fig. 2.4.3 pentru a putea folosi pentru axa Y coordonate logaritmice (în vederea unei reprezentări mai sugestive) s-au evitat valorile negative prin translația cu o unitate a  $ares(t)$ .

### 3 - Contribuțiile individuale ale planetelor la mișcarea solară<sup>5</sup>

În continuare vom analiza contribuțiile individuale ale planetelor ce înconjoară Soarele începând cu planetele gigant (care au cea mai importantă contribuție) și continuând cu

<sup>5</sup> Fără corecțiile din tabelul 1.5.1.B

planetele telurice. După cum vom vedea mai departe, analiza contribuțiilor individuale ale planetelor la mișcarea solară este foarte importantă deoarece pe baza acesteia vom putea determina:

1. Numărul componentelor spectrale (armonicilor) produse de fiecare planetă, număr proporțional cu excentricitatea  $e$  a orbitei;

2. Raportul  $q_{ai} = \frac{A(f_{1i})}{A(f_{2i})}$  unde  $A(f_{1i})$  și  $A(f_{2i})$  sunt amplitudinile primei și a celei de a

doua armonice produse de planeta  $i$  asupra mișcării solare, raport invers proporțional cu  $e$  ;

3. Listele componentelor spectrale individuale ale planetelor vor fi baza de calcul a diferențelor pozitive de frecvență prezente în spectrul orbitalului solar, aceste diferențe fiind baza estimării ponderilor contribuțiilor diferitelor planete la mișcarea solară;

4. Valorile globale ale parametrilor solari *viteză* și *acelerație orbitală* sunt date de relații dintre aceste valori și valorile contribuțiilor planetare individuale la acești parametri (vezi comentariile 2.3.1 și 2.3.2).

Deoarece procesele de mișcare ale Soarelui sunt periodice, așadar caracterizate de o multitudine de frecvențe, vom stabili niște reguli privind denumirile adoptate pentru aceste frecvențe:

1. Fiecărei planete  $i$  ( $i \in [0, 7]$ )<sup>6</sup> îi asociem un nume  $p$  ( $p \in [Me, Ve, Te, Ma, Ju, Sa, Ur, Ne]$ );

2. Frecvența naturală a planetei cu numele  $p$  ( $fp0$ ) este  $f_i = 1/T_i$ , unde  $T_i$  este perioada de revoluție a planetei  $i$  în jurul Soarelui, exprimată în secunde;

3. Armonicile planetei  $p$  ( $fp1...f_{pn}$ ) sunt frecvențele rezultate în urma analizei spectrale a contribuției planetei  $p$  la mișcarea solară.

### 3.1 - Contribuția lui Jupiter la mișcarea solară

Poziția solară datorată exclusiv lui Jupiter în coordonate ecliptice<sup>7</sup> este dată de ecuațiile:

$$xesJu(t) = -\frac{xe(4,t)}{q_4} \cdot UA; \quad yesJu(t) = -\frac{ye(4,t)}{q_4} \cdot UA \quad [km] \quad (3.1.1)$$

iar reprezentarea grafică în fig. 3.1.1:

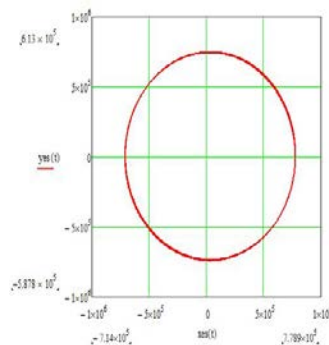


Fig. 3.1.1. Poziția solară datorată lui Jupiter

Distribuția derivată de ord. I a poziției solare (viteza solară) datorată lui Jupiter este dată de ecuațiile:

$$vxesJu(t) = \frac{xesJu(t) - xesJu(t - \Delta t)}{Nz}; \quad vyesJu(t) = \frac{yesJu(t) - yesJu(t - \Delta t)}{Nz} \left[ \frac{km}{zi} \right] \quad (3.1.2)$$

unde  $xesJu(t)$  și  $yesJu(t)$  sunt date de ecuațiile 3.1.1, iar  $vxesJu(t)$  și  $vyesJu(t)$  sunt componentele vitezei orbitale solare datorate lui Jupiter și reprezentate în fig. 3.1.2:

<sup>6</sup> Contribuția lui Pluton la mișcarea solară este nesemnificativă ca amplitudine, în plus având o perioadă de revoluție foarte lungă analiza spectrală pe 60 de secole este imprecisă (sunt doar 24 de perioade).

<sup>7</sup> Vezi comentariul 1.5.1

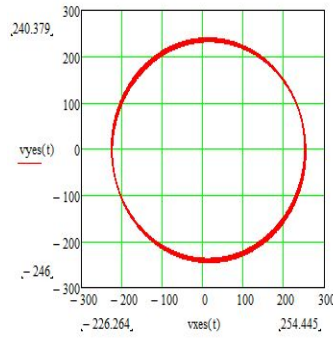


Fig. 3.1.2 Componentele vitezei orbitale solare datorate lui Jupiter

Modulul vitezei orbitale solare datorate lui Jupiter este dat de ecuația  $v_{esJu}(t) = \sqrt{v_{xesJu}(t)^2 + v_{yvesJu}(t)^2}$  a cărei reprezentare este dată în fig. 3.1.3.

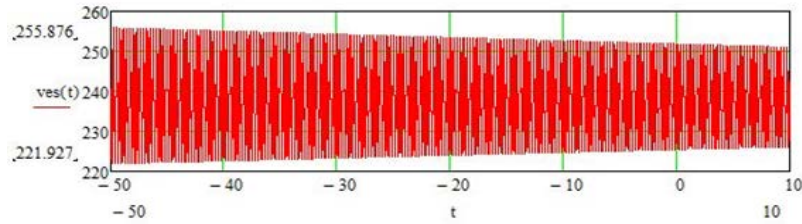


Fig. 3.1.3 Modulul vitezei orbitale solare datorate lui Jupiter

Distribuția derivată de ord. II a poziției solare datorate lui Jupiter (acelerația orbitală solară) este dată de ecuațiile:

$$a_{xesJu}(t) = \frac{v_{xesJu}(t) - v_{xesJu}(t - \Delta t)}{N_z}; a_{yvesJu}(t) = \frac{v_{yvesJu}(t) - v_{yvesJu}(t - \Delta t)}{N_z} \left[ \frac{km}{zi^2} \right] \quad (3.1.3)$$

unde  $v_{xesJu}(t)$  și  $v_{yvesJu}(t)$  sunt date de ecuațiile 3.1.2, iar  $a_{xesJu}(t)$  și  $a_{yvesJu}(t)$  sunt componentele accelerației orbitale solare datorate lui Jupiter și reprezentate în fig. 3.1.4:

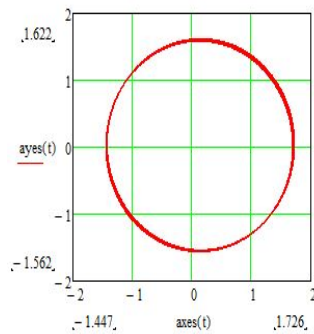


Fig. 3.1.4 Componentele accelerației orbitale solare datorate lui Jupiter

Modulul accelerației orbitale solare  $a_{esJu}(t) = \sqrt{a_{xesJu}(t)^2 + a_{yvesJu}(t)^2}$  produsă de Jupiter este reprezentat în fig. 3.1.5:

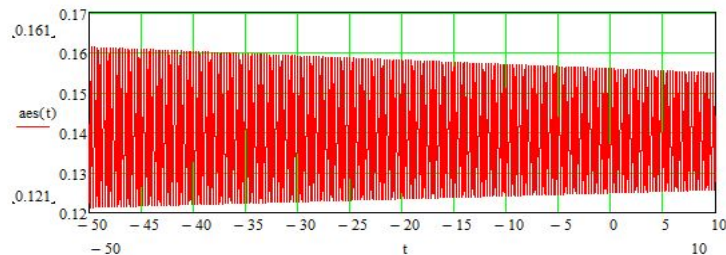


Fig. 3.1.5 Modulul accelerației orbitale solare datorată lui Jupiter

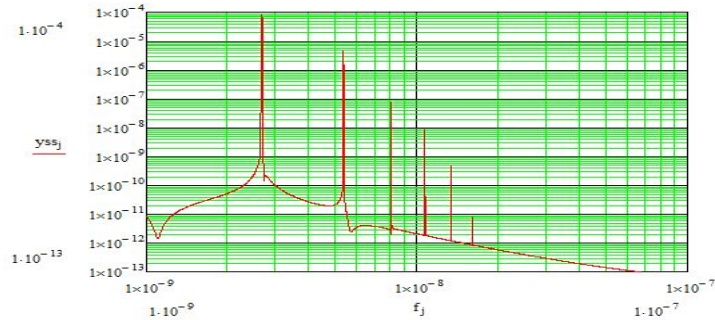


Fig. 3.1.6 Spectru aesJu pg

În fig. 3.1.6 este reprezentat spectrul parametrului  $aesJu(t)$  din fig. 3.1.5 în urma analizei FFT cu datele filtrate printr-o poartă (fereastră) Gauss de tip  $pg(n) = e^{-\left(\frac{n-\mu}{\sigma}\right)^2}$ ;  $\mu = \frac{N}{2}$ ;  $\sigma = \frac{\mu}{3}$ , unde  $n$  este numărul eșantionului din șirul de  $N = 2^{18}$  eșantioane.

Componentele spectrale mai importante ca amplitudine ale contribuției joviene la  $aes$  solară care rezultă din fig. 3.1.6 sunt date în tabelul 3.1.1.

Tabelul 3.1.1

Frecvența [Hz]	Amplitudinea	Comentarii
f1=2.6724e-009	8.0105e-005	fJu1
f2=5.3447e-009	4.3270e-006	fJu2=2fJu1 $q_a=18.51$
f3=8.0118e-009	7.8814e-008	fJu3=3fJu1
f4=1.0684e-008	8.0121e-009	fJu4=4fJu1
f5=1.3357e-008	4.7326e-010	fJu5=5fJu1

### 3.2 - Contribuția lui Saturn la mișcarea solară

Poziția solară datorată exclusiv lui Saturn este dată de ecuațiile:

$$xesSa(t) = -\frac{xe(5,t)}{q_5} \cdot UA; \quad yesSa(t) = -\frac{ye(5,t)}{q_5} \cdot UA \quad [km] \quad (3.2.1)$$

iar reprezentarea lor grafică este dată în fig. 3.2.1.

Distribuția derivată a poziției solare datorată lui Saturn este dată de ecuațiile:

$$v_xesSa(t) = \frac{xesSa(t) - xesSa(t - \Delta t)}{N_z}; \quad v_yesSa(t) = \frac{yesSa(t) - yesSa(t - \Delta t)}{N_z} \quad \left[ \frac{km}{zi} \right] \quad (3.2.2)$$

unde  $xesSa(t)$  și  $yesSa(t)$  sunt date de ecuațiile 3.2.1, iar  $v_xesSa(t)$  și  $v_yesSa(t)$  sunt vitezele orbitale solare datorate lui Saturn date de ecuațiile 3.2.2 și reprezentate în fig. 3.2.2. Modulul vitezei orbitale solare datorată lui Saturn este dat de ecuația

$vesSa(t) = \sqrt{v_xesSa(t)^2 + v_yesSa(t)^2}$  a cărei reprezentare este dată în fig. 3.2.3:

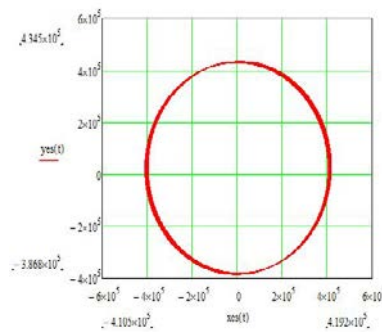


Fig. 3.2.1 Poziția solară datorată lui Saturn

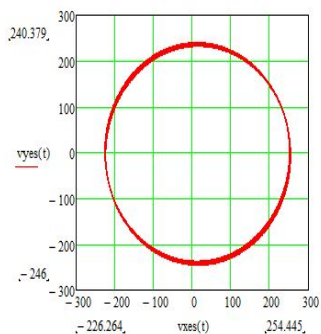


Fig. 3.2.2 Componentele vitezei orbitale solare datorate lui Saturn

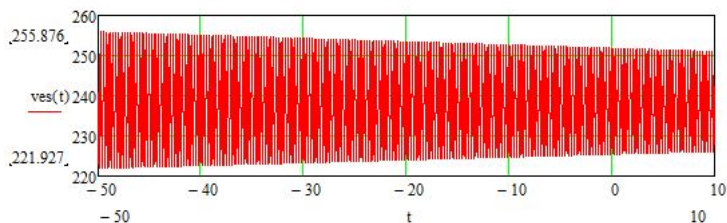


Fig. 3.2.3 Modulul vitezei orbitale solare datorate lui Saturn

Distribuția derivată de ord. II a poziției solare datorate lui Saturn (acelerația orbitală solară) este dată de ecuațiile:

$$axesSa(t) = \frac{vvesSa(t) - vvesSa(t - \Delta t)}{N_z}; ayesSa(t) = \frac{vyesSa(t) - vyesSa(t - \Delta t)}{N_z} \left[ \frac{km}{zi^2} \right] \quad (3.2.3)$$

unde  $vvesSa(t)$  și  $vyesSa(t)$  sunt date de ecuațiile 3.2.2, iar  $axesSa(t)$  și  $ayesSa(t)$  sunt componentele accelerației orbitale solare datorate lui Saturn și reprezentate în fig. 3.2.4:

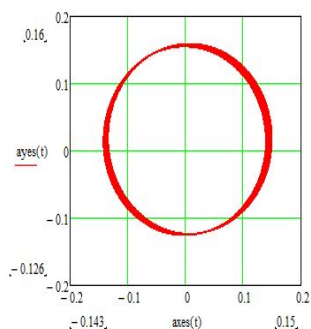


Fig. 3.2.4 Componentele accelerației orbitale solare datorate lui Saturn

Modulul accelerației orbitale solare  $aesSa(t) = \sqrt{axesSa(t)^2 + ayesSa(t)^2}$  produsă de Saturn este reprezentat în fig. 3.2.5:

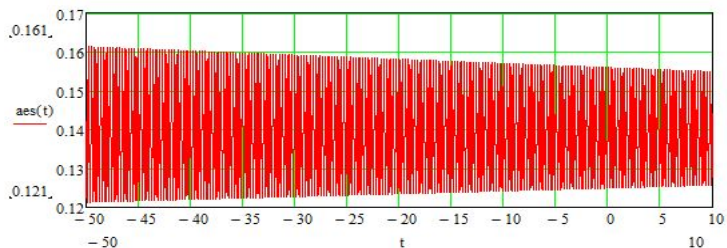


Fig. 3.2.5 Modulul accelerației orbitale solare datorată lui Saturn

Analiza spectrală a parametrului  $aesSa(t)$  reprezentat în fig. 3.2.5 este dată în fig. 3.2.6 în aceleași condiții ca cele pentru Jupiter.

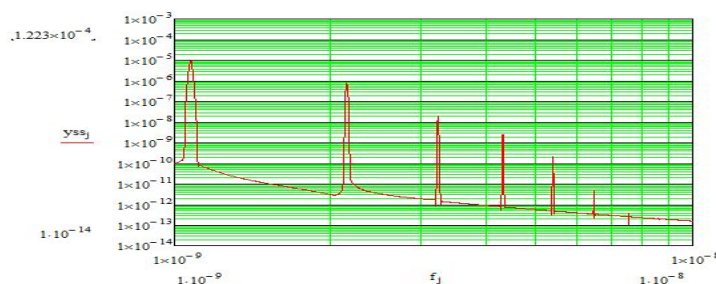


Fig. 3.2.5 Spectru aesSa pg

Componentele spectrale ale contribuției lui Saturn la accelerația solară care rezultă din fig. 3.2.5 sunt date în tabelul 3.2.1.

Tabelul 3.2.1

Frecvența [Hz]	Amplitudinea	Comentarii
f1=1.0774e-009	9.5205e-006	fSa1
f2=2.1495e-009	7.6037e-007	fSa2=2fSa1 qSa=12.52
f3=3.2269e-009	1.8746e-008	fSa3=3fSa1
f4=4.299e-009	2.4874e-009	fSa4=4fSa1
f5=5.3764e-009	2.1108e-010	fSa5=5fSa1

### 3.3 - Contribuția lui Uranus la mișcarea solară

Poziția solară datorată exclusiv lui Uranus este dată de ecuațiile:

$$xesUr(t) = -\frac{xe(6,t)}{q_6} \cdot UA; yesUr(t) = -\frac{ye(6,t)}{q_6} \cdot UA \quad [km] \quad (3.3.1)$$

iar reprezentarea lor grafică este dată în fig. 3.3.1.

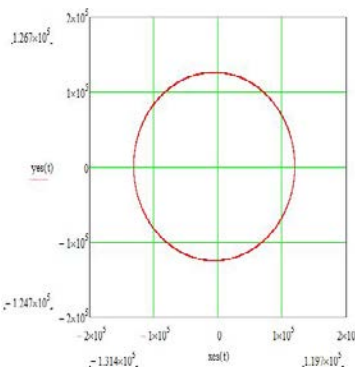


Fig. 3.3.1 Poziția solară datorată lui Uranus

Distribuția derivată a poziției solare datorată lui Uranus este dată de ecuațiile:

$$v_xesUr(t) = \frac{xesUr(t) - xesUr(t - \Delta t)}{N_z}; v_yesUr(t) = \frac{yesUr(t) - yesUr(t - \Delta t)}{N_z} \left[ \frac{km}{zi} \right] \quad (3.3.2)$$

unde  $xesUr(t)$  și  $yesUr(t)$  sunt date de ecuațiile 3.3.1, iar  $v_xesUr(t)$  și  $v_yesUr(t)$  sunt componentele vitezei orbitale solare datorate lui Uranus date de ecuațiile 3.3.2 și reprezentate în fig. 3.3.2.

Modulul vitezei orbitale solare datorate lui Uranus este dat de ecuația  $vesUr(t) = \sqrt{v_xesUr(t)^2 + v_yesUr(t)^2}$  a cărei reprezentare este dată în fig. 3.3.3:

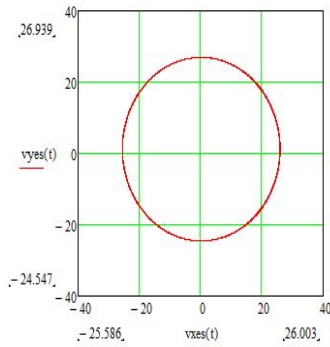


Fig. 3.3.2 Componentele vitezei orbitale solare datorate lui Uranus

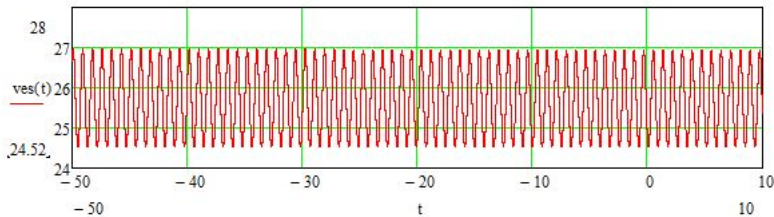


Fig. 3.3.3 Modulul vitezei orbitale solare datorate lui Uranus

Distribuția derivată de ord. II a poziției solare datorate lui Uranus (acelerația orbitală solară) este dată de ecuațiile:

$$axesUr(t) = \frac{v_xesUr(t) - v_xesUr(t - \Delta t)}{N_z}; ayesUr(t) = \frac{v_yesUr(t) - v_yesUr(t - \Delta t)}{N_z} \left[ \frac{km}{zi^2} \right] \quad (3.3.3)$$

unde  $v_xesUr(t)$  și  $v_yesUr(t)$  sunt date de ecuațiile 3.3.2, iar  $axesUr(t)$  și  $ayesUr(t)$  sunt componentele accelerației orbitale solare datorate lui Uranus și reprezentate în fig. 3.3.4:

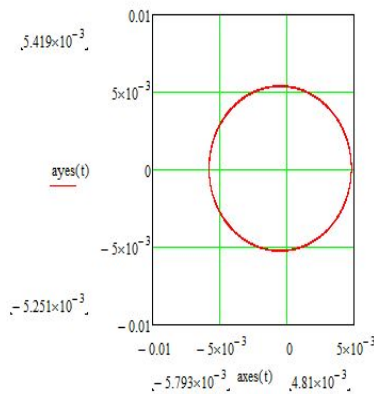


Fig. 3.3.4 Componentele accelerației orbitale solare datorate lui Uranus

Modulul accelerației orbitale solare  $aesUr(t) = \sqrt{axesUr(t)^2 + ayesUr(t)^2}$  produsă de Uranus este reprezentat în fig. 3.3.5:

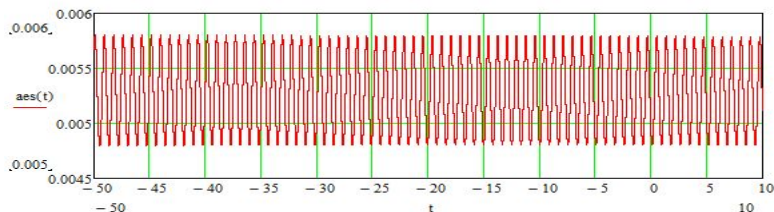


Fig. 3.3.5 Modulul accelerației orbitale solare datorate lui Uranus

Analiza spectrală a parametrului  $aesUr(t)$  reprezentat în fig. 3.3.5 este dată în fig. 3.3.6 în aceleași condiții ca cele pentru Jupiter și Saturn.

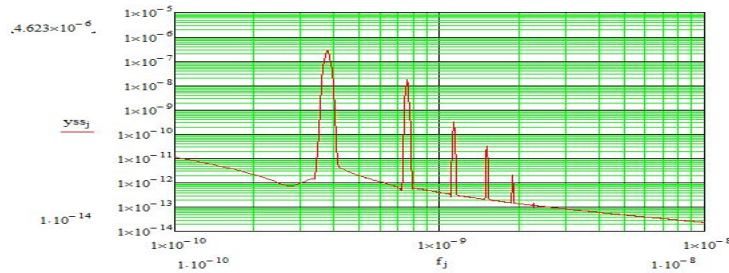


Fig. 3.3.6 Spectru aesUr pg

Componentele spectrale ale contribuției lui Uranus la mișcarea solară care rezultă din fig. 3.3.6 sunt date în tabelul 3.3.1.

Tabelul 3.3.1

Frecvența	Amplitudinea	Comentarii
f1=3.7498e-010	2.744e-007	fUr1
f2=7.5523e-010	1.6678e-008	fUr2=2fUr1 qUr=16.45
f3=1.1302e-009	3.1394e-010	fUr3=3fUr1
f4=1.5105e-009	3.1352e-011	fUr4=4fUr1

### 3.4 - Contribuția lui Neptun la mișcarea solară

Poziția solară datorată exclusiv lui Neptun este dată de ecuațiile:

$$xesNe(t) = -\frac{xe(7,t)}{q_7} \cdot UA ; yesNe(t) = -\frac{ye(7,t)}{q_7} \cdot UA \quad [km] \quad (3.4.1)$$

iar reprezentarea lor grafică este dată în fig. 3.4.1. Distribuția derivată de ord. I a poziției solare datorate lui Neptun este dată de ecuațiile:

$$vxesNe(t) = \frac{xesNe(t) - xesNe(t - \Delta t)}{Nz} ; vyesNe(t) = \frac{yesNe(t) - yesNe(t - \Delta t)}{Nz} \quad \left[ \frac{km}{zi} \right] \quad (3.4.2)$$

unde  $xesNe(t)$  și  $yesNe(t)$  sunt date de ecuațiile 3.4.1, iar  $vxesNe(t)$  și  $vyesNe(t)$  sunt vitezele orbitale solare datorate lui Neptun, date de ecuațiile 3.4.2 și reprezentate în fig. 3.4.2.

Modulul vitezei orbitale solare datorate lui Neptun este dat de ecuația  $vesNe(t) = \sqrt{vxesNe(t)^2 + vyesNe(t)^2}$  a cărei reprezentare este dată în fig. 3.4.3:

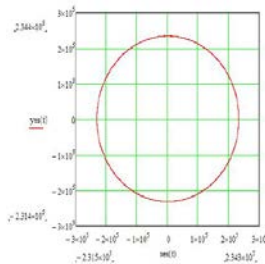


Fig. 3.4.1 Poziția solară datorată lui Neptun

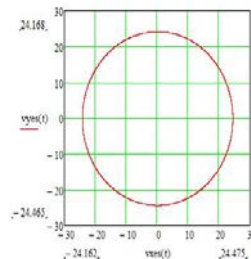


Fig. 3.4.2 Componentele vitezei orbitale solare datorate lui Neptun



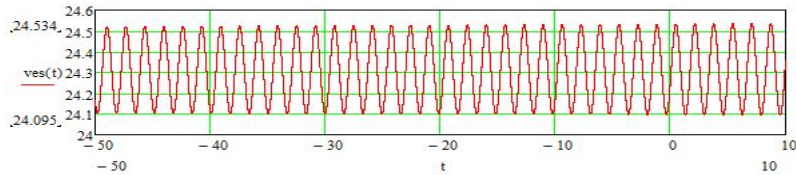


Fig. 3.4.3 Modulul vitezei orbitale solare datorate lui Neptun

Distribuția derivată de ord. II a poziției solare datorate lui Neptun (același accelerația orbitală solară) este dată de ecuațiile:

$$axesNe(t) = \frac{v_{xesNe}(t) - v_{xesNe}(t - \Delta t)}{N_z}; ayesNe(t) = \frac{v_{yesNe}(t) - v_{yesNe}(t - \Delta t)}{N_z} \left[ \frac{km}{zi^2} \right] \quad (3.4.3)$$

unde  $v_{xesNe}(t)$  și  $v_{yesNe}(t)$  sunt date de ecuațiile 3.4.2, iar  $axesNe(t)$  și  $ayesNe(t)$  sunt componentele accelerației orbitale solare datorate lui Neptun și reprezentate în fig. 3.4.4:

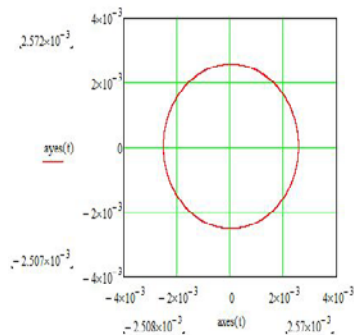


Fig. 3.4.4 Componentele accelerației orbitale solare datorate lui Neptun

Modulul accelerației orbitale solare  $aesNe(t) = \sqrt{axesNe(t)^2 + ayesNe(t)^2}$  produsă de Neptun este reprezentat în fig. 3.4.5:

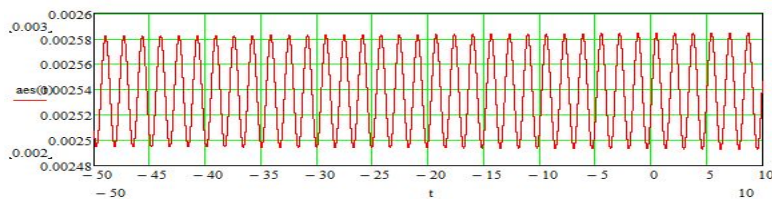


Fig. 3.4.5 Modulul accelerației orbitale solare datorate lui Neptun

Analiza spectrală a parametrului  $aesNe(t)$  reprezentat în fig. 3.4.5 este dată în fig. 3.4.6 în aceleași condiții ca cele pentru Jupiter, Saturn și Uranus.

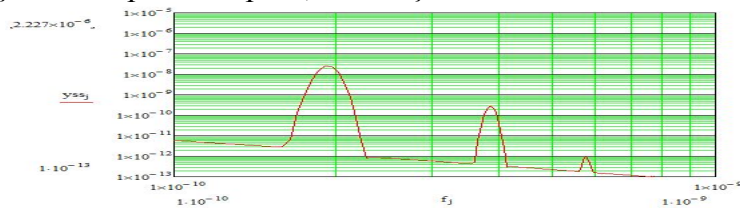


Fig. 3.4.6 Spectru aesNe pg

Componentele spectrale ale contribuției lui Neptun la mișcarea solară care rezultă din fig. 3.4.6 sunt date în tabelul 3.4.1.

Tabelul 3.4.1

Frecvența	Amplitudinea	Comentarii
f1=1.9277e-010	2.3993e-008	fNe1
f2=3.8554e-010	2.8049e-010	fNe2=2fNe1 q <sub>a</sub> =85.5
f3=5.7567e-010	1.013e-012	fNe3=3fNe1

### 3.5 - Contribuția lui Marte la mișcarea solară

Poziția solară datorată exclusiv lui Marte este dată de ecuațiile:

$$xesMa(t) = -\frac{xe(3,t)}{q_3} \cdot UA; yesMa(t) = -\frac{ye(3,t)}{q_3} \cdot UA \quad [km] \quad (3.5.1)$$

iar reprezentarea lor grafică este dată în fig. 3.5.1. Distribuția derivată de ord. I a poziției solare datorate lui Marte este dată de ecuațiile:

$$v_xesMa(t) = \frac{xesMa(t) - xesMa(t - \Delta t)}{Nz}; v_yesMa(t) = \frac{yesMa(t) - yesMa(t - \Delta t)}{Nz} \left[ \frac{km}{zi} \right] \quad (3.5.2)$$

unde  $xesMa(t)$  și  $yesMa(t)$  sunt date de ecuațiile 3.5.1, iar  $v_xesMa(t)$  și  $v_yesMa(t)$  sunt vitezele orbitale solare datorate lui Marte, date de ecuațiile 3.5.2 și reprezentate în fig. 3.5.2.

Modulul vitezei orbitale solare datorate lui Marte este dat de ecuația  $vesMa(t) = \sqrt{v_xesMa(t)^2 + v_yesMa(t)^2}$  și nu prezintă pe toată durata investigată vreo variație a amplitudinii, așa că nu-l mai reprezentăm.

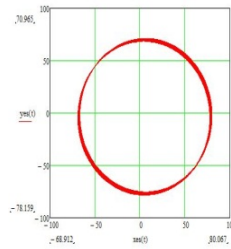


Fig. 3.5.1 Poziția solară datorată lui Marte

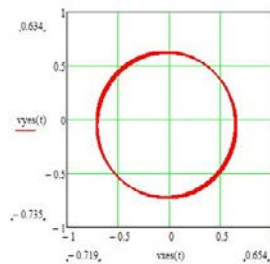


Fig. 3.5.2 Viteza orbitală solară datorată lui Marte

Distribuția derivată de ord. II a poziției solare datorate lui Marte (acelerația orbitală solară) este dată de ecuațiile:

$$axesMa(t) = \frac{v_xesMa(t) - v_xesMa(t - \Delta t)}{Nz}; ayesMa(t) = \frac{v_yesMa(t) - v_yesMa(t - \Delta t)}{Nz} \left[ \frac{km}{zi^2} \right] \quad (3.5.3)$$

unde  $v_xesMa(t)$  și  $v_yesMa(t)$  sunt date de ecuațiile 2.5.2, iar  $axesMa(t)$  și  $ayesMa(t)$  sunt componentele accelerației orbitale solare datorate lui Marte reprezentate în fig. 3.5.3:

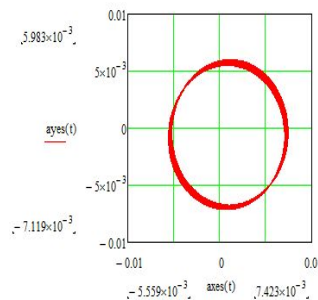


Fig. 3.5.3 Accelerația orbitală solară datorată lui Marte

Modulul accelerației orbitale solare  $aesMa(t) = \sqrt{axesMa(t)^2 + ayesMa(t)^2}$  produsă de Marte nu prezintă nicio variație în timp așa că nu-l mai reprezentăm, dar analiza spectrală a lui este dată în fig. 3.5.4 în aceleași condiții ca pentru planetele gigant.

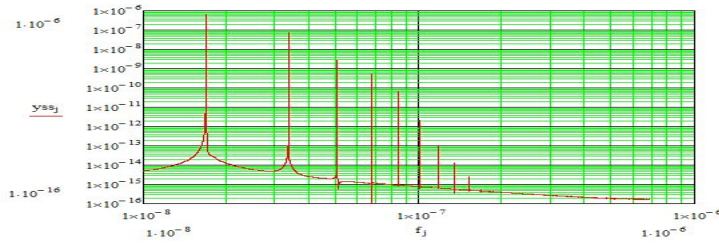


Fig. 3.5.4 Spectru aesMa pg

Componentele spectrale ale contribuției lui Marte la mișcarea solară care rezultă din fig. 3.5.4 sunt date în tabelul 3.5.1.

Tabelul 3.5.1

Frecvența	Amplitudinea	Comentarii
f1=1.68475e-008	6.6435e-007	fMa1
f2=3.3695e-008	7.6489e-008	fMa2=2fMa1 qMa=8.85
f3=5.05425e-008	2.8241e-009	fMa3=3fMa1
f4=6.739e-008	5.8027e-010	fMa4=4fMa1
f5=8.42375e-008	7.0792e-011	fMa5=5fMa1

### 3.6 - Contribuția Terrei la mișcarea solară

Poziția solară datorată exclusiv Terrei este dată de ecuațiile:

$$xesTe(t) = -\frac{xe(2,t)}{q_2} \cdot UA; \quad yesTe(t) = -\frac{ye(2,t)}{q_2} \cdot UA \quad [km] \quad (3.6.1)$$

iar reprezentarea lor grafică este dată în fig. 3.6.1. Distribuția derivată de ord. I a poziției solare datorate Terrei este dată de ecuațiile:

$$vxesTe(t) = \frac{xesTe(t) - xesTe(t - \Delta t)}{N_z}; \quad vyesTe(t) = \frac{yesTe(t) - yesTe(t - \Delta t)}{N_z} \quad \left[ \frac{km}{zi} \right] \quad (3.6.2)$$

unde  $xesTe(t)$  și  $yesTe(t)$  sunt date de ecuațiile 3.6.1, iar  $vxesTe(t)$  și  $vyesTe(t)$  sunt componentele vitezei orbitale solare datorate Terrei, date de ecuațiile 3.6.2 și reprezentate în fig. 3.6.2. Distribuția derivată de ord. II a poziției solare datorate Terrei (acelerația orbitală solară) este dată de ecuațiile:

$$axesTe(t) = \frac{vxesTe(t) - vxesTe(t - \Delta t)}{N_z}; \quad ayesTe(t) = \frac{vyesTe(t) - vyesTe(t - \Delta t)}{N_z} \quad \left[ \frac{km}{zi^2} \right] \quad (3.6.3)$$

unde  $vxesTe(t)$  și  $vyesTe(t)$  sunt date de ecuațiile 3.6.2, iar  $axesTe(t)$  și  $ayesTe(t)$  sunt componentele accelerației orbitale solare datorate Terrei reprezentate în fig. 3.6.3:

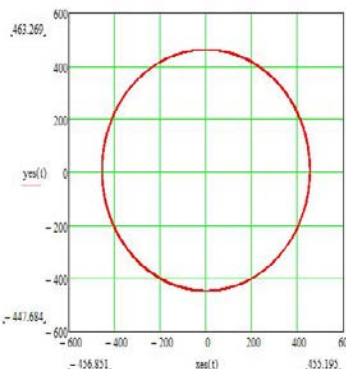


Fig. 3.6.1 Poziția solară datorată Terrei

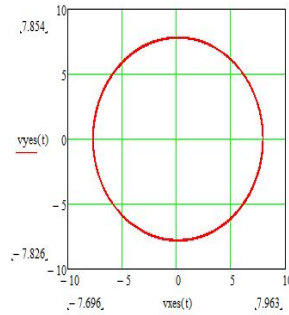


Fig. 3.6.2 Viteza orbitală solară datorată Terrei

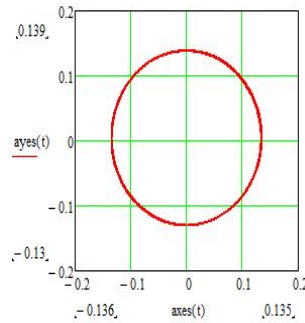


Fig. 3.6.3 Accelația orbitală solară datorată Terrei

Modulul accelerației orbitale solare este  $aesTe(t) = \sqrt{axesTe(t)^2 + ayesTe(t)^2}$  al cărui spectru este dat în fig. 3.6.4:

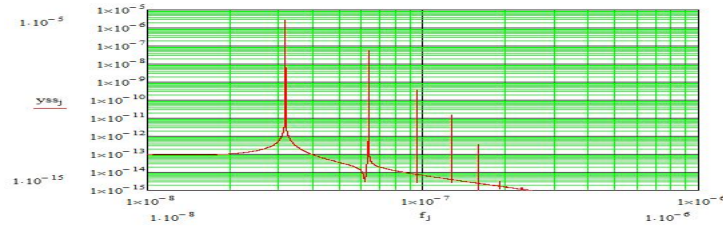


Fig. 2.6.4 Spectru aesTe pg

Componentele spectrale ale contribuției Terrei la accelerația orbitală solară  $aesTe(t)$ , sunt date în tabelul 3.6.1.

Tabelul 3.6.1

Frecvența	Amplitudinea	Comentarii
f1=3.1688e-008	2.6756e-006	fTe1
f2=6.3376e-008	5.6677e-008	fTe2=2fTe1 qTe=47.21
f3=9.5064e-008	3.8158e-010	fTe3=3fTe1
f4=1.2675e-007	1.4964e-011	fTe4=4fTe1
f5=1.5844e-007	3.4538e-013	fTe5=5fTe1

### 3.7 - Contribuția lui Venus la mișcarea solară

Poziția solară datorată exclusiv lui Venus este dată de ecuațiile:

$$xesVe(t) = -\frac{xe(1,t)}{q_1} \cdot UA; \quad yesVe(t) = -\frac{ye(1,t)}{q_1} \cdot UA \quad [km] \quad (3.7.1)$$

iar reprezentarea lor grafică este dată în fig. 3.7.1. Distribuția derivată de ord. I a poziției solare datorate lui Venus este dată de ecuațiile:

$$v_xesVe(t) = \frac{xesVe(t) - xesVe(t - \Delta t)}{N_z}; \quad v_yesVe(t) = \frac{yesVe(t) - yesVe(t - \Delta t)}{N_z} \left[ \frac{km}{zi} \right] \quad (3.7.2)$$

unde  $xesVe(t)$  și  $yesVe(t)$  sunt date de ecuațiile 3.7.1, iar  $v_xesVe(t)$  și  $v_yesVe(t)$  sunt componentele vitezei orbitale solare datorate lui Venus, date de ecuațiile 3.7.2 și reprezentate în fig. 3.7.2.

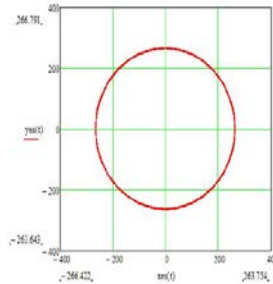


Fig. 3.7.1 Poziția solară datorată lui Venus

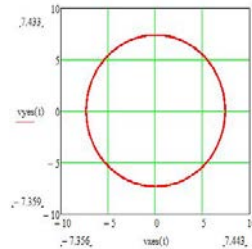


Fig. 3.7.2 Viteza orbitală solară datorată lui Venus

Distribuția derivată de ord. II a poziției solare datorate lui Venus (acelerația orbitală solară) este dată de ecuațiile:

$$axesVe(t) = \frac{vxeVe(t) - vxeVe(t - \Delta t)}{Nz}; ayesVe(t) = \frac{vyeVe(t) - vyeVe(t - \Delta t)}{Nz} \left[ \frac{km}{zi^2} \right] \quad (3.7.3)$$

unde  $vxeVe(t)$  și  $vyeVe(t)$  sunt date de ecuațiile 3.7.2, iar  $axesVe(t)$  și  $ayesVe(t)$  sunt componentele accelerației orbitale solare datorate lui Venus reprezentate în fig. 3.7.3:

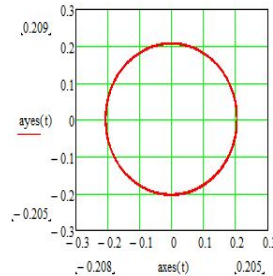


Fig. 3.7.3 Accelerația orbitală solară datorată lui Venus

Modulul accelerației orbitale solare este  $aesVe(t) = \sqrt{axesVe(t)^2 + ayesVe(t)^2}$  al cărui spectru este dat în fig. 3.7.4:

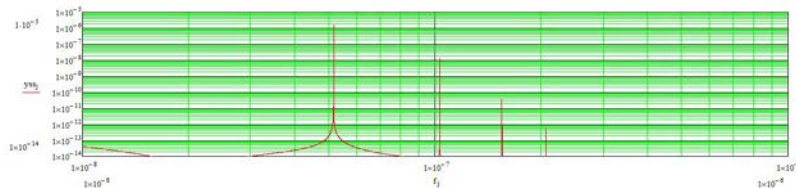


Fig. 3.7.4 Spectru aesVe pg

Componentele spectrale ale contribuției lui Venus la accelerația orbitală solară  $aesVe(t)$ , sunt date în tabelul 3.7.1.

Tabelul 3.7.1

Frecvența	Amplitudinea	Comentarii
f1=5.1509e-008	1.8261e-006	fVe1
f2=1.0302e-007	1.7348e-008	fVe2=2fVe1 qVe=105.26
f3=1.5453e-007	5.3764e-011	fVe3=3fVe1
f4=2.0604e-007	9.2124e-013	fVe4=4fVe1

### 3.8 - Contribuția lui Mercur la mișcarea solară

Poziția solară datorată exclusiv lui Mercur este dată de ecuațiile:

$$xesMe(t) = -\frac{xe(0,t)}{q_0} \cdot UA; yesMe(t) = -\frac{ye(0,t)}{q_0} \cdot UA \quad [km] \quad (3.8.1)$$

iar reprezentarea lor grafică este dată în fig. 3.8.1. Distribuția derivată de ord. I a poziției solare datorate lui Mercur este dată de ecuațiile:

$$v_xesMe(t) = \frac{xesMe(t) - xesMe(t - \Delta t)}{N_z}; v_yesMe(t) = \frac{yesMe(t) - yesMe(t - \Delta t)}{N_z} \left[ \frac{km}{zi} \right] \quad (3.8.2)$$

unde  $xesMe(t)$  și  $yesMe(t)$  sunt date de ecuațiile 3.8.1, iar  $v_xesMe(t)$  și  $v_yesMe(t)$  sunt componentele vitezei orbitale solare datorate lui Mercur, date de ecuațiile 3.8.2 și reprezentate în fig. 3.8.2.

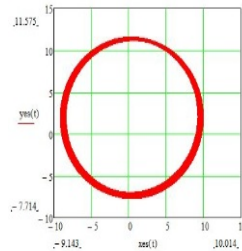


Fig. 3.8.1 Poziția solară datorată lui Mercur

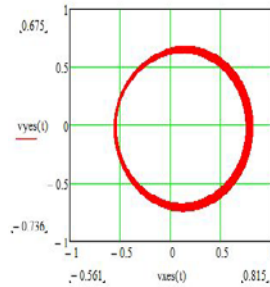


Fig. 3.8.2 Viteza orbitală solară datorată lui Mercur

Distribuția derivată de ord. II a poziției solare datorate lui Mercur (acelerația orbitală solară) este dată de ecuațiile:

$$axesMe(t) = \frac{v_xesMe(t) - v_xesMe(t - \Delta t)}{N_z}; ayesMe(t) = \frac{v_yesMe(t) - v_yesMe(t - \Delta t)}{N_z} \left[ \frac{km}{zi^2} \right] \quad (3.8.3)$$

unde  $v_xesMe(t)$  și  $v_yesMe(t)$  sunt date de ecuațiile 3.8.2, iar  $axesMe(t)$  și  $ayesMe(t)$  sunt componentele accelerației orbitale solare datorate lui Mercur reprezentate în fig. 3.8.3.

Modulul accelerației orbitale solare este  $aesMe(t) = \sqrt{axesMe(t)^2 + ayesMe(t)^2}$  al cărui spectru este dat în fig. 3.8.4.

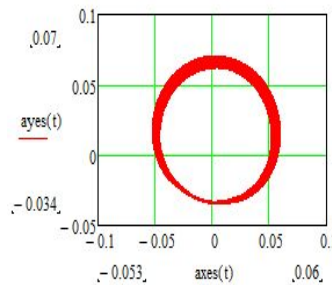


Fig. 3.8.3 Accelerația orbitală solară datorată lui Mercur

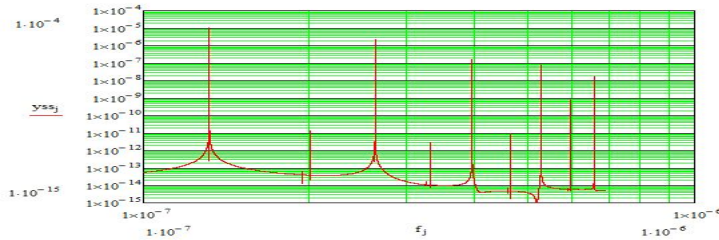


Fig. 3.8.4 Spectru aesMe pg

Componentele spectrale ale contribuției lui Mercur la accelerația orbitală solară  $aesMe(t)$ , sunt date în tabelul 3.8.1.

Tabelul 3.8.1

Frecvența	Amplitudinea	Comentarii
f1=1.3157e-007	1.0364e-005	fMe1
fa=2.0035e-007	1.3783e-011	fMe2-fTe2
f2=2.6314e-007	2.1445e-006	fMe2=2fMe1 qMe=4.83
fb=3.3192e-007	2.7668e-012	fMe3-fTe2
f3=3.9471e-007	1.6356e-007	fMe3=3fMe1
fc=4.6349e-007	9.0956e-012	fMe4-fTe2
f4=5.2628e-007	7.5607e-008	fMe4=4fMe1
fd=5.9506e-007	8.0831e-010	fMe5-fTe2
f5=6.5784e-007	1.7709e-008	fMe5=5fMe1

Comentariul 3.8.1: Din tabelul 3.8.1 putem observa atât componentele spectrale datorate elipticității orbitei mercuriene (componentele fMe1...fMe5), cât și componentele fa...fd datorate influenței Terrei.

#### 4 - Amplitudinea componentelor spectrale funcție de excentricitatea orbitei

Să rezumăm componentele spectrale ale contribuțiilor planetare la mișcarea solară, specificând excentricitatea orbitei și adăugând frecvențele orbitale<sup>8</sup> cu sufixul 0.

Tabelul 4.1 - Neptun,  $e=0.00895439$

Nume	Frecvența [Hz]	Amplitudinea [A]	Comentarii
fNe0	1.92295E-10		
fNe1	1.9277e-010	2.3993e-008	
fNe2	3.8554e-010	2.8049e-010	2fNe1 $q_{a7}=85.5$
fNe3	5.7567e-010	1.013e-012	3fNe1

Tabelul 4.2 - Uranus,  $e=0.04716771$

Nume	Frecvența [Hz]	Amplitudinea [A]	Comentarii
fUr0	3.771850E-10		
fUr1	3.7498e-010	2.744e-007	
fUr2	7.5523e-010	1.6678e-008	2fUr1 $q_{a6}=16.45$
fUr3	1.1302e-009	3.1394e-010	3fUr1
fUr4	1.5105e-009	3.1352e-011	4fUr1

Tabelul 4.3 - Saturn,  $e=0.05415060$

Nume	Frecvența [Hz]	Amplitudinea [A]	Comentarii
fSa0	1.07574E-09		
fSa1	1.0774e-09	9.5205e-006	
fSa2	2.1495e-09	7.6037e-007	2fSa1 $q_{a5}=12.52$
fSa3	3.2269e-09	1.8746e-008	3fSa1
fSa4	4.299e-09	2.4874e-009	4fSa1
fSa5	5.3764e-09	2.1108e-010	5fSa1

Tabelul 4.4 - Jupiter,  $e=0.04839266$

Nume	Frecvența [Hz]	Amplitudinea [A]	Comentarii
fJu0	2.6714E-09		
fJu1	2.6724e-09	8.0105e-005	
fJu2	5.3447e-09	4.327e-006	2fJu1 $q_{a4}=18.5$

<sup>8</sup> Frecvența orbitală planetară (numită și frecvență naturală planetară) în Hz este inversul perioadei planetare exprimată în secunde.

fJu3	8.0118e-09	7.8814e-008	3fJu1
fJu4	1.0684e-08	8.0121e-009	4fJu1
fJu5	1.3357e-08	4.7326e-010	5fJu1

*Tabelul 4.5 - Marte,  $e=0.09341233$*

Nume	Frecvența [Hz]	Amplitudinea [A]	Comentarii
fMa0	1.684776E-08		
fMa1	1.68475E-08	6.6435e-07	
fMa2	3.3695E-08	7.6489e-08	2fMa1 $q_{a3}=8.85$
fMa3	5.054250E-08	2.8241e-09	3Ma1
fMa4	6.739E-08	5.8027e-10	4fMa1
fMa5	8.423750E-08	7.0792e-11	5fMa1

*Tabelul 4.6 - Terra,  $e=0.01671022$*

Nume	Frecvența [Hz]	Amplitudinea [A]	Comentarii
fTe0	3.168757E-08		
fTe1	3.16881E-08	2.6756e-06	
fTe2	6.33762E-08	5.6677e-08	2fTe1 $q_{a2}=47.21$
fTe3	9.50643E-08	3.8158e-10	3fTe1
fTe4	1.26752E-07	1.4964e-11	4fTe1
fTe5	1.58435E-07	3.4538e-13	5fTe1

*Tabelul 4.7 - Venus,  $e=0.00677323$*

Nume	Frecvența [Hz]	Amplitudinea [A]	Comentarii
fVe0	5.150878E-08		
fVe1	5.1509E-08	1.8261e-06	
fVe2	1.03018E-07	1.7348e-08	2fVe1 $q_{a1}=105.26$
fVe3	1.54527E-07	5.3764e-11	3fVe1
fVe4	2.06036E-07	9.2124e-13	4fVe1

*Tabelul 4.8 - Mercur,  $e=0.20563069$*

Nume	Frecvența [Hz]	Amplitudinea [A]	Comentarii
fMe0	1.315699E-07		
fMe1	1.3157e-07	1.0364e-05	
fMe2	2.63143E-07	2.1445e-06	2fMe1 $q_{a0}=4.82$
fMe3	3.94707e-07	1.6452e-07	3fMe1
fMe4	5.26281e-07	7.6224e-08	4fMe1
fMe5	6.57855e-07	1.7893e-08	5fMe1

Comentariul 4.1: Datele din tabelele 4.1...4.8 sunt baza de calcul a diferențelor pozitive de frecvențe pe care le vom folosi pentru identificarea componentelor rezultate în urma analizei spectrale, componente pe care le vom găsi în tabelul 5.1. Cu datele din tabelele de mai sus se construiesc 8 matrici cu care se calculează diferențele pozitive a doi termeni din matrici diferite. Rezultă un fișier Excel cu 730 de componente posibile, din care se regăsesc cele 190 frecvențe din tabelul 5.1.

Din tabelele 4.1...4.8 se observă că există o relație de dependență directă între mărimea excentricității  $e$  a orbitei unei planete date și numărul de armonici<sup>9</sup> ai contribuției respectivei planete la mișcarea solară. Există de asemenea (vezi tabelul 4.9) o relație de dependență inversă între mărimea excentricității  $e$  (ordonată crescător în tabel) și raportul amplitudinilor primelor două componente spectrale  $q_{ai}$ .

*Tabelul 4.9*

Excentricitatea $e$	Planeta	$q_{ai}$	Comentarii
0.00677323	Venus	105.26	
0.00895439	Neptun	85.5	
0.01671022	Terra	47.21	
0.04716771	Uranus	16.45	anomalie Uranus <sup>10</sup>
0.04839266	Jupiter	18.5	
0.0541506	Saturn	12,52	
0.09341233	Marte	8.85	
0.20563069	Mercur	4.82	

<sup>9</sup> Vorbim de armonicele cu amplitudini importante.

<sup>10</sup> Conform valorii excentricității valoarea  $q_{ai}$  pentru Uranus ar trebui să fie între 47 și 18. Motivul pentru care a rezultat o valoare mult diferită nu se cunoaște.



## 5 - Componentele spectrale ale parametrului *aes* solar pe un interval temporal de 60 de secole pentru toate planetele.

În continuare vom analiza componentele spectrale ale accelerației orbitale solare pe intervalul temporal al valabilității tabelului efemeridelor (60 de secole), fără datele din tabelul 1.5.1.B. Spectrul *aes* în aceste condiții este dat în fig. 5.1:

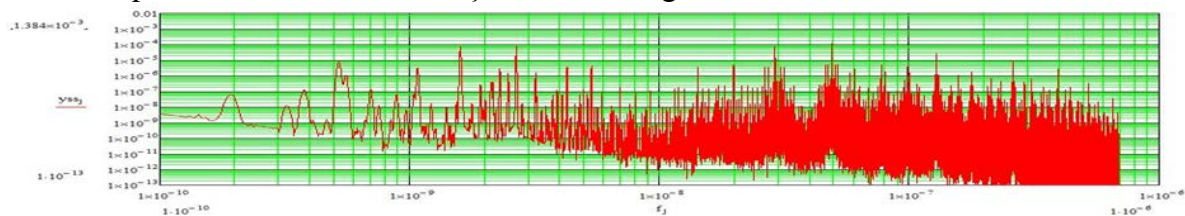


Fig. 5.1 Spectru *aes* pentru toate planetele

Pentru o imagine mai detaliată același spectru, dar expandat în fig. 5.2, 5.3 și 5.4, de observat intervalele frecvențelor din partea de jos a spectrului.

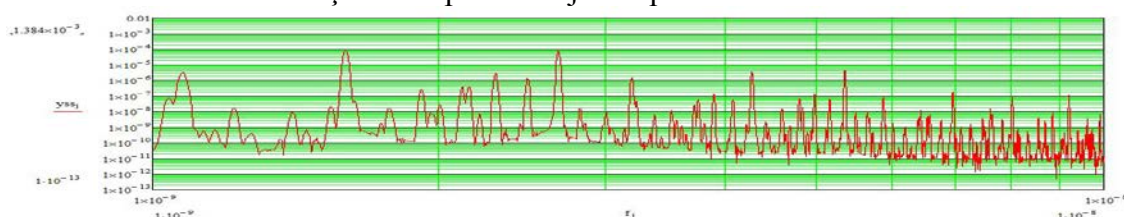


Fig. 5.2 Spectru *aes* pentru toate planetele zoom 1

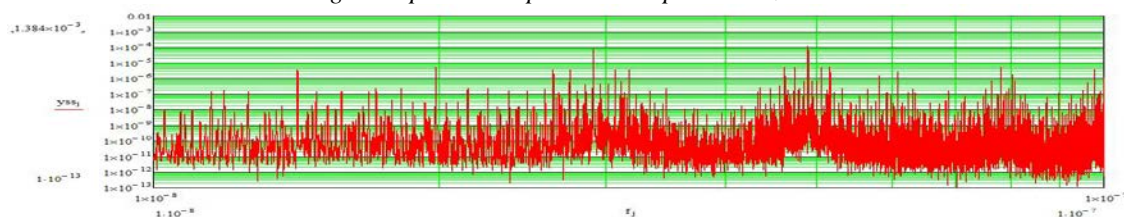


Fig. 5.3 Spectru *aes* pentru toate planetele zoom 2

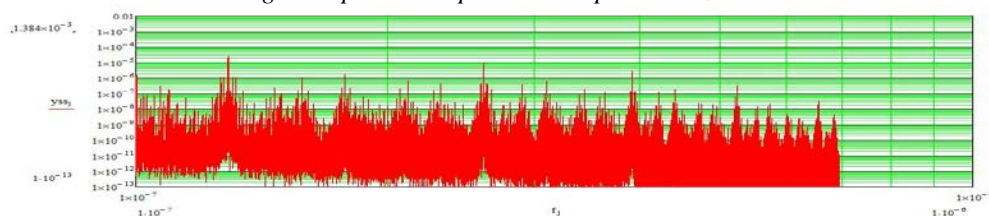


Fig. 5.4 Spectru *aes* pentru toate planetele zoom 3

Componentele spectrale importante ca amplitudine identificate în spectrul din fig. 5.1 sunt date în tabelul 5.1, în care punctele de suspensie (...) indică un interval cu componente neidentificate. În coloana 4 (componente) sunt trecute numele frecvenței sau a diferenței pozitive de frecvențe ale contribuțiilor planetare la parametrul *aes* solar, iar în coloana 5 numele formantului din care face parte frecvența respectivă.

Amplitudinea componentelor nu are unități de măsură, ea fiind utilă doar la compararea valorilor între ele. Analiza spectrală s-a făcut tot cu filtrarea datelor printr-o fereastră Gauss.

Tabelul 5.1

Nr.	Frecvența [Hz]	Amplitudinea	Componente	Formant <sup>11</sup>
f01	1.9277E-10	6.0317E-08	fNe1	
f02	3.2216E-10	1.3196E-08	fSa1-fUr2	
f03	3.7498E-10	1.2779E-07	fUr1	
f04	3.8554E-10	6.5233E-08	fNe2	

<sup>11</sup> În privința notației formanților vezi par. 6.2

f05	4.3307E-10	2.1454E-10	fUr4-fSa1	
f06	5.0173E-10	3.2384E-07	fSa1-fNe3	
f07	5.2285E-10	9.3117E-06	fJu1-fSa2	
f08	5.5454E-10	1.0426E-06	fUr3-fNe3	
f09	5.7567E-10	1.5136E-08	fNe3	
f10	6.3904E-10	1.5507E-10	fSa2-fUr4	
f11	6.9186E-10	8.7879E-08	fSa1-fNe2	
f12	7.0242E-10	1.1846E-07	fSa1-fUr1	
f13	7.5523E-10	1.2400E-08	fUr2	
f14	8.8199E-10	6.4734E-08	fSa0-fNe1	
f15	9.3480E-10	4.0132E-10	fUr4-fNe3	
f16	9.6649E-10	6.6169E-09	fVe1-fMa3	
f17	1.0404E-09	7.2839E-08	fJu2-fSa4	
f18	1.0774E-09	3.2848E-06	fSa1	
f19	1.1302E-09	6.3364E-10	fUr3	
f20	1.1619E-09	7.1672E-10	fJu0-fUr4	
f21	1.3151E-09	3.7548E-11	fUr4-fNe1	
f22	1.3943E-09	5.0370E-09	fSa2-fUr2	
f23	1.5105E-09	4.8875E-11	fUr4	
f24	1.5422E-09	2.1305E-08	fJu0-fUr3	
f25	1.5950E-09	7.8977E-05	fJu1-fSa1	GAf1
f26	1.7745E-09	1.6899E-08	fSa2-fUr1	
f27	1.9171E-09	2.8213E-07	fJu0-fUr2	
f28	1.9594E-09	8.3375E-09	fSa2-fNe1	
f29	2.1178E-09	4.0970E-07	fJu2-fSa3	
f30	2.1495E-09	4.1631E-07	fSa2	
f31	2.2921E-09	2.8750E-06	fJu1-fUr1	GAf2
f32	2.4770E-09	1.3846E-06	fJu1-fNe1	GAf3
f33	2.6724E-09	7.9417E-05	fJu1	GAf4
f34	2.8466E-09	1.7795E-09	fSa3-fUr0	
f35	3.0315E-09	9.0140E-10	fSa3-fNe1	
f36	3.1899E-09	1.6129E-06	fJu2-fSa2	GBf1
f37	3.8924E-09	1.2347E-07	fJu2-fUr1-fSa1	GBf2
f38	4.0772E-09	5.9679E-08	fJu2-fNe1-fSa1	GBf3
f39	4.2092E-09	1.4211E-09	fJu2-fUr3	
f40	4.2673E-09	3.6127E-06	fJu2-fSa1	GBf4, GCf1
f41	4.5895E-09	1.5827E-08	fJu2-fUr2	
f42	4.7849E-09	6.7322E-08	fJu3-fSa3	
f43	4.9645E-09	1.3612E-07	fJu2-fUr1	GCf2
f44	5.1493E-09	6.5549E-08	fJu2-fNe1	GCf3
f45	5.3447E-09	4.3231E-06	fJu2	GCf4
f46	5.8623E-09	7.7154E-08	fJu3-fSa2	GDF1
f47	6.4168E-09	1.1821E-08	fJu4-fSa4	

f48	6.5594E-09	6.0308E-09	fJu3-fUr1-fSa1	Gdf2
f49	6.7443E-09	2.8969E-09	fJu3-fNe1-fSa1	Gdf3
f50	6.9397E-09	1.7843E-07	fJu3-fSa1	Gdf4, Gef1
f51	7.2407E-09	1.5209E-09	fJu3-fUr2	
f52	7.4573E-09	3.5003E-09		
f53	7.5999E-09	1.5159E-08	fJu3-fUr1	Gef2
f54	7.6368E-09	6.9195E-09		
f55	7.8217E-09	3.3276E-09	fJu3-fNe1	Gef3
f56	8.0118E-09	8.0243E-08	fJu3	Gef4, Gff1
f57	8.8357E-09	7.8850E-09	fMa1-fJu3	
f58	9.1948E-09	1.1349E-07	fJu4-fUr4	Gff4
f59	9.6068E-09	3.6250E-09	fJu4-fUr3	
f60	9.9078E-09	6.9750E-09	fJu4-fUr2	GGf1
f61	1.0103E-08	1.0103E-08	fJu4-fNe3	
f62	1.0298E-08	1.0272E-08	fJu4-fNe2	GGf2
f63	1.0462E-08	2.6156E-10	fJu4-fNe1	
f64	1.0790E-08	5.3963E-09	fJu4	GGf3
f65	1.1503E-08	1.5134E-07	fMa1-fJu2	Maf1
f66	1.2580E-08	1.5214E-07	fMa1-fSa4	Maf2
f67	1.2834E-08	1.9226E-10	fTe2-fMa3	
f68	1.3658E-08	1.9184E-08	fMa1-fSa3	
f69	1.4175E-08	3.4446E-06	fMa1-fJu1	Maf3
f70	1.4698E-08	1.9530E-08	fMa1-fSa2	
f71	1.4841E-08	1.5252E-07	fTe1-fMa1	
f72	1.5358E-08	8.6682E-10	fMa1-fUr4	
f73	1.5770E-08	1.5310E-07	fMa1-fSa1	Maf4
f74	1.6076E-08	1.1072E-09	fMa1-fUr2	
f75	1.6219E-08	1.9206E-09	fMa1-fNe3	
f76	1.6436E-08	6.9420E-09	fMa1-fUr1	
f77	1.6631E-08	1.6098E-08	fMa1-fNe1	
f78	1.6848E-08	1.5371E-07	fMa1	Maf5
f79	1.7814E-08	4.2939E-08	fVe1-fMa2	
f80	1.9821E-08	5.1482E-06	fVe1-fTe1	
f81	2.0898E-08	3.1139E-08	fTe1-fJu4	
f82	2.3011E-08	1.5747E-08	fMa2-fJu4	
f83	2.3676E-08	1.6513E-07	fTe1-fJu3	
f84	2.5683E-08	1.0670E-09	fMa2-fJu3	
f85	2.6343E-08	3.4216E-06	fTe1-fJu2	Tef1
f86	2.7421E-08	3.3538E-06	fTe1-fSa4	Tef2
f87	2.7796E-08	3.6026E-09	fVe3-fTe4	
f88	2.8498E-08	4.0884E-07	fTe1-fSa3	
f89	2.9016E-08	7.6631E-05	fTe1-fJu1	Tef3
f90	2.9401E-08	8.8963E-09	fMa2-fSa4	

f91	2.9539E-08	4.1671E-07	fTe1-fSa2	
f92	3.0611E-08	3.4374E-06	fTe1-fSa1	Tef4
f93	3.1023E-08	6.3130E-07	fMa2-fJu1	
f94	3.1308E-08	1.2393E-07	fTe1-fUr1	
f95	3.1688E-08	3.3787E-06	fTe1	Tef5
f96	3.2206E-08	8.4673E-08	fMa2-fUr4	
f97	3.2618E-08	2.8110E-08	fMa2-fSa1	
f98	3.3695E-08	2.8194E-08	fMa2	
f99	3.4661E-08	2.3486E-07	fVe1-fMa1	
f100	3.6505E-08	1.1237E-09	fMe1-fTe3	
f101	3.9642E-08	6.1020E-09	fVe2-fTe2	
f102	4.0883E-08	7.8851E-09	fVe1-fJu4	
f103	4.3497E-08	2.5799E-07	fVe1-fJu3	
f104	4.4569E-08	2.3679E-07	fTe3-fMa3	
f105	4.6164E-08	5.1759E-06	fVe1-fJu2	Vef1
f106	4.6545E-08	1.9189E-07	fTe2-fMa1	
f107	4.7242E-08	5.1709E-06	fVe1-fSa4	Vef2
f108	4.7759E-08	2.3682E-07	fMa3-fJu1	
f109	4.8319E-08	6.4081E-07	fMa3-fSa2	
f110	4.8837E-08	1.1721E-04	fVe1-fJu1	Vef3
f111	4.9359E-08	6.4764E-07	fVe1-fSa2	
f112	4.9914E-08	6.7901E-07	fVe1-fUr4	
f113	5.0432E-08	5.2159E-06	fVe1-fSa1	Vef4
f114	5.1134E-08	1.9128E-07	fVe1-fUr1	
f115	5.1509E-08	5.2981E-06	fVe1	Vef5
f116	5.5359E-08	7.3247E-08	fTe2-fJu3	
f117	5.6436E-08	2.1264E-07	fMa4-fJu4	
f118	5.8031E-08	1.6051E-06	fTe2-fJu2	Te2f1
f119	5.9109E-08	1.2620E-07	fTe2-fSa4	Te2f2
f120	6.0704E-08	2.6841E-06	fTe2-fJu1	Te2f3
f121	6.2299E-08	1.2204E-07	fTe2-fSa1	Te2f4
f122	6.3012E-08	2.1797E-07	fTe2-fUr1	
f123	6.3012E-08	2.1797E-07	fMa4-fSa4	
f124	6.3376E-08	1.1592E-07	fTe2	Te2f5
f125	6.4718E-08	6.1990E-09	fMa4-fJu1	
f126	6.7063E-08	2.3101E-08	fMa4-fUr1	
f127	6.8193E-08	3.9538E-08	fMe1-fTe2	
f128	7.1330E-08	7.0599E-08	fVe2-fTe1	
f129	7.6257E-08	6.5869E-07	fTe4-fMa3	
f130	8.0060E-08	1.7808E-06	fMe1-fVe1	
f131	8.7047E-08	6.6993E-08	fTe3-fJu3	
f132	8.9720E-08	1.1483E-07	fTe3-fJu2	Te3f1
f133	9.0433E-08	6.1926E-09	fTe3-fSa4	Te3f2

f134	9.1315E-08	5.3967E-09	fVe3-fTe2	
f135	9.2392E-08	7.7980E-08	fTe3-fJu1	Te3f3
f136	9.3406E-08	2.3068E-08	fTe3-fUr4	
f137	9.4483E-08	5.4836E-08	fTe3-fNe3	
f138	9.5006E-08	1.6941E-07	fVe2-fJu3	
...				
f139	9.7673E-08	3.7820E-06	fVe2-fJu2	Ve2f1
f140	1.0035E-07	1.6052E-06	fVe2-fJu1	Ve2f3
f141	1.0194E-07	7.1565E-08	fVe2-fSa1	Ve2f4
f142	1.0302E-07	7.3361E-08	fVe2	Ve2f5
f143	1.0954E-07	1.9129E-07	fTe4-fMa1	
f144	1.1472E-07	5.3270E-08	fMe1-fMa1	
f145	1.1606E-07	3.4905E-09	fTe4-fJu4	
f146	1.1874E-07	7.2916E-09	fTe4-fJu3	
f147	1.2141E-07	5.4194E-09	fTe4-fJu2	
f149	1.2243E-07	4.7765E-09	fTe4-fSa4	
f150	1.2356E-07	5.9976E-08	fMe1-fJu3	
f151	1.2463E-07	5.2540E-08	fTe4-fSa2	
f152	1.2623E-07	1.1361E-06	fMe1-fJu2	Mef1
f153	1.2730E-07	1.1528E-06	fMe1-fSa4	Mef2
f154	1.2890E-07	2.5984E-05	fMe1-fJu1	Mef3
f155	1.3049E-07	1.1503E-06	fMe1-fSa1	Mef4
f156	1.3157E-07	1.1064E-06	fMe1	Mef5
f157	1.4651E-07	2.3864E-07	fVe3-fJu3	
f158	1.4918E-07	1.0009E-07	fVe3-fJu2	
f159	1.5185E-07	1.6223E-08	fVe3-fJu1	
f160	1.5411E-07	1.5694E-08	fVe3-fNe2	
f161	1.6058E-07	1.4572E-07	fMe2-fVe2	
f162	1.9535E-07	1.9710E-08	fMe2-fMa4	
f163	1.9976E-07	1.4683E-08	fMe2-fTe2	
f164	2.1163E-07	6.5962E-07	fMe2-fVe1	
f165	2.3145E-07	4.2599E-07	fMe2-fTe1	
f166	2.4064E-07	2.8606E-08	fMe3-fVe3	
f167	2.4629E-07	1.9804E-08	fMe2-fMa1	
f168	2.5513E-07	1.3994E-08	fMe2-fJu3	
f169	2.5780E-07	3.8931E-07	fMe2-fJu2	Me2f1
f170	2.6047E-07	9.5571E-06	fMe2-fJu1	Me2f3
f171	2.6207E-07	4.2197E-07	fMe2-fSa1	Me2f4
f172	2.6314E-07	4.1113E-07	fMe2	Me2f5
f173	3.4320E-07	1.9521E-07	fMe3-fVe1	
f174	3.6302E-07	1.2565E-07	fMe3-fTe1	
f175	3.7786E-07	5.8829E-09	fMe3-fMa1	
f176	3.8937E-07	1.4500E-07	fMe3-fJu2	Me3f1

f177	3.9203E-07	2.8085E-06	fMe3-fJu1	Me3f3
f178	3.9471E-07	1.2476E-07	fMe3	Me3f5
f179	4.2372E-07	1.6211E-08	fMe4-fVe2	
f180	4.7477E-07	2.1981E-08	fMe4-fVe1	
f181	4.9459E-07	1.4104E-08	fMe4-fTe1	
f182	5.2094E-07	6.4344E-08	fMe4-fJu2	Me4f1
f183	5.2361E-07	3.2016E-07	fMe4-fJu1	Me4f3
f184	5.2520E-07	1.4996E-08	fMe4-fSa1	Me4f4
f185	5.2627E-07	8.6946E-09	fMe4	Me4f5
f186	6.0634E-07	2.3394E-09	fMe5-fVe1	
f187	6.2616E-07	1.5347E-09	fMe5-fTe1	
f188	6.5251E-07	2.0451E-08	fMe5-fJu2	Me5f1
f189	6.5518E-07	3.5215E-08	fMe5-fJu1	Me5f3
f190	6.5784E-07	1.3956E-09	fMe5	Me5f5

Tabelul 5.1 cu componentele spectrale ale parametrului solar *aes* ne dezvăluie o mulțime de „secrete” ale proceselor ce au loc în sistemul nostru planetar. Primul și cel mai important este acela că mișcarea unui CA din sistemul planetar (inclusiv a Soarelui) este influențată de mișcarea *CA exterioare*. Pentru planetele telurice este evidentă influența lui Jupiter (cea mai puternică), a lui Saturn, urmând apoi Uranus și Neptun.

În tabelul 5.2 am extras din șirul componentelor spectrale de mai sus pe cele importante, pe care le-am ordonat după amplitudine având astfel posibilitatea de a observa și înțelege ponderea planetelor la accelerația orbitală solară. În coloana 5 a tabelului vedem ponderea procentuală a contribuției planetare față de suma tuturor acestor contribuții la parametrul *aes* solar. Observăm contribuția majoră atât a planetei Jupiter cât și a planetelor telurice<sup>12</sup> (fără Marte), mai ales a lui Venus.

Tabelul 5.2

Nr.	Combinăția	Frecvența [Hz]	Amplitudinea <i>aes</i>	val. rel. [%]
1	fVe1-fJu1	4.8837E-08	1.1721E-04	11.702
2	fJu1	2.6724E-09	7.9417E-05	7.929
3	fJu1-fSa1	1.5950E-09	7.8977E-05	7.885
4	fTe1-fJu1	2.9016E-08	7.6631E-05	7.651
5	fMe1-fJu1	1.2890E-07	2.5984E-05	2.594
6	fMe2-fJu1	2.6047E-07	9.5571E-06	0.954
7	fJu1-fSa2	5.2285E-10	9.3117E-06	0.93
8	fVe1	5.1509E-08	5.2981E-06	0.529
9	fVe1-fSa1	5.0432E-08	5.2159E-06	0.521
10	fVe1-fJu2	4.6164E-08	5.1759E-06	0.517
11	fVe1-fSa4	4.7242E-08	5.1709E-06	0.516
12	fVe1-fTe1	1.9821E-08	5.1482E-06	0.514
13	fJu2	5.3447E-09	4.3231E-06	0.432
14	fVe2-fJu2	9.7673E-08	3.7820E-06	0.378
15	fJu2-fSa1	4.2673E-09	3.6127E-06	0.361
16	fMa1-fJu1	1.4175E-08	3.4446E-06	0.344
17	fTe1-fSa1	3.0611E-08	3.4374E-06	0.343

<sup>12</sup> Când vorbim de contribuție majoră a planetelor telurice ne referim exclusiv la paramerul *aes* solar.

18	fTe1-fJu2	2.6343E-08	3.4216E-06	0.342
19	fTe1	3.1688E-08	3.3787E-06	0.337
20	fTe1-fSa4	2.7421E-08	3.3538E-06	0.335
21	fSa1	1.0774E-09	3.2848E-06	0.328
22	fJu1-fUr1	2.2921E-09	2.8750E-06	0.287
23	fMe3-fJu1	3.9203E-07	2.8085E-06	0.28
24	fTe2-fJu1	6.0704E-08	2.6841E-06	0.268
25	fMe1-fVe1	8.0060E-08	1.7808E-06	0.178

## 6 - Formații

### 6.1 - Introducere

Distribuția pe suport frecvențial a valorii unui parametru solar rezultată în urma analizei spectrale FFT este un *spectru*. În acest spectru se observă anumite forme (de unde și denumirea de *formații*), care se repetă și care reprezintă relații invariante între anumite componente spectrale.

Comentariul 6.1.1: În Dicționarul Explicativ al Limbii Române termenul *formant* este definit ca „zonă de maximă relevanță a unui spectru acustic”, dar fiind vorba tot de un spectru, același termen poate fi folosit și în cazul componentelor spectrale ale mișcării solare.

Din analiza făcută până acum au rezultat trei tipuri de formații:

- Formații ai planetelor gigant;
- Formații ai planetelor telurice;
- Formații de modulație.

Formații planetelor gigant conțin relații invariante între componentele spectrale ale parametrilor mișcării Soarelui provocate doar de mișcărilor planetelor gigant, iar formații planetelor telurice conțin relații invariante între componentele spectrale ale parametrilor solari provocate de planetele telurice și planetele gigant. Formații de modulație conțin armonicile unei frecvențe centrale (echivalentul purtătoarei la modulația de amplitudine clasică a unui semnal), componente simetric dispuse la distanțe egale cu frecvența semnalului modulator.

### 6.2 - Formații planetelor gigant

Formații planetelor gigant sunt prezentate în varianta mai clară a ignorării perturbațiilor induse de tabelul 1.5.1.B la mișcarea acestora, caz în care spectrul solar este mult mai clar. În acest caz spectrul *aes* solar este dat în fig. 6.2.1 (fig. 5.2 pe care s-au delimitat zonele ce revin formațiilor A...F, cu componentele indicate și în tabelul 5.1). Notăția formațiilor pentru planetele gigant începe cu litera G urmată de indicativul formantului (A...F) și cel al frecvenței. Pentru planetele telurice numele formantului este cel al planetei urmat de indicativul frecvenței.

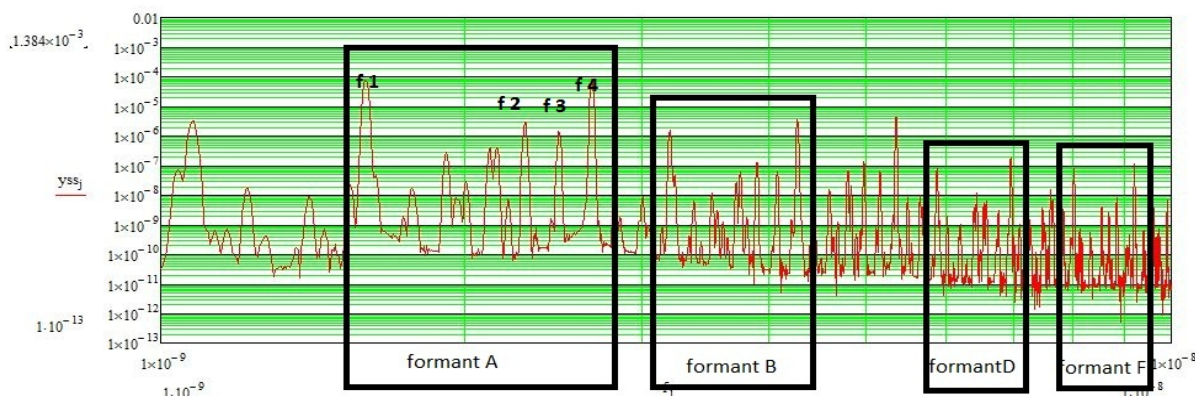


Fig. 6.2.1

Tabelul 6.2.1 Formanții planetelor gigant

Nr.	Formant A	Componente A	Formant B	Comp. B	Formant C	Comp. C
f1	1.5950e-09	fJu1-fSa1	3.1900e-09	f1+f1 fJu2-fSa2	4.2674e-09	fJu2-fSa1
f2	2.2974e-09	fJu1-fUr1	3.8924e-09	f2+f1 fJu2-fUr1-fSa1	4.9645e-09	fJu2-fUr1
f3	2.4796e-09	fJu1-fNe1	4.0746e-09	f3+f1 fJu2-fNe1-fSa1	5.1493e-09	fJu2-fNe1
f4	2.6724e-09	fJu1	4.2674e-09	f4+f1 fJu2-fSa1	5.3447e-09	fJu2
Nr.	Formant D	Comp. D	Formant E	Comp. E	Formant F	Comp. F
f1	5.8623e-09	fJu3-fSa2	6.9397e-09	fJu3-fSa1	8.0118e-09	fJu3
f2	6.5594e-09	fJu3-fUr1-fSa1	7.5999e-09	fJu3-fUr1	8.8357e-09	fMa1-fJu3
f3	6.7443e-09	fJu3-fNe1-fSa1	7.8217e-09	fJu3-fNe1	9.0892e-09	
f4	6.9397e-09	fJu3-fSa1	8.0118e-09	fJu3	9.1948e-09	fJu4-fUr4

Observăm că frecvențele (componentele spectrale) ce intră într-un formant al planetelor gigant sunt în număr de patru, iar tipurile de formați sunt în număr de șase, marcate cu A, B, C, D, E și F în tabelul 6.2.1 și fig. 6.2.1. În tabelul 6.2.1 sunt indicate cele patru frecvențe, valoarea frecvenței, iar în coloanele comentarii compoziția fiecărei frecvențe.

Comentariul 6.2.1: Situația formațiilor este puțin mai complicată deoarece apar suprapuneri ale acestora. De exemplu formantul C este parțial suprapus cu B, formantul D este parțial suprapus cu E, iar în formantul F apare un component al formantului marțian. De asemenea, mai există un formant al planetelor gigant - formantul G - neinclus în tabelul 6.2.1 ce conține componente formate cu fJu4 (f60, f62, f64) și care este parțial suprapus cu formantul lui Marte. Ca o observație generală privind formațiile planetelor gigant, ținând cont și de informațiile privind formațiile planetelor telurice unde vor apare și formați de ordin superior, am putea spune că de fapt formațiile planetelor gigant sunt formați de ordin superior ai planetei Jupiter.

### 6.3 - Formații planetelor telurice

Structura formațiilor planetelor telurice este aceeași pentru toate planetele de acest tip, dar ca exemplu am ales doar două mai clare și anume pe cele ale planetelor Terra și Venus, reprezentate în fig. 6.3.1 (un fragment mărit din fig. 5.3):

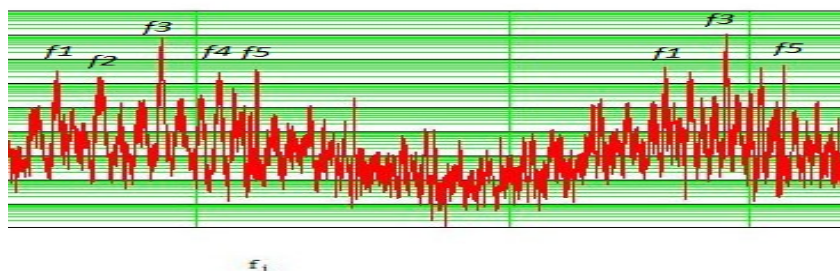


Fig. 6.3.1

Tabelul 6.3.1 Formații planetelor telurice

Nr.	Formant Ma	Comp. Ma	Formant Te	Comp. Te	Formant Ve	Comp. Ve
f1	1.15028e-08	fMa1-fJu2	2.63434e-08	fTe1-fJu2	4.61643e-08	fVe1-fJu2
f2	1.25485e-08	fMa1-fSa4	2.73838e-08	fTe1-fSa4	4.72786e-08	fVe1-fSa4
f3	1.41751e-08	fMa1-fJu1	2.90157e-08	fTe1-fJu1	4.88366e-08	fVe1-fJu1
f4	1.57701e-08	fMa1-fSa1	3.06107e-08	fTe1-fSa1	5.04316e-08	fVe1-fSa1
f5	1.68475e-08	fMa1	3.16881e-08	fTe1	5.15090e-08	fVe1

Tabelul 6.3.1 Continuare

Nr.	Formant Me	Comp. Me	Amplitudinea
f1	1.26229e-07	fMe1-fJu2	1.1307e-06
f2	1.27339e-07	fMe1-fSa4	6.8178e-07
f3	1.28902e-07	fMe1-fJu1	2.4377e-05
f4	1.30497e-07	fMe1-fSa1	9.597e-07
f5	1.31569e-07	fMe1	1.1614e-06

În formațiile planetelor telurice se remarcă o componentă centrală f3 în tabelul 6.3.1, cu frecvența egală cu diferența dintre prima armonică a planetei și prima armonică a lui Jupiter, această frecvență având amplitudinea cea mai mare în cadrul formantului.

Comentariul 6.3.1: În tabelul 6.3.1 sunt date pentru exemplificare și amplitudinile componentelor din formantul lui Mercur, pentru celelalte planete ele fiind omise din lipsă de spațiu. Valorile amplitudinilor pentru toți formații sunt însă accesibile în tabelul 5.1, unde componentele formațiilor sunt indicate în



ultima coloană. În cazul primelor trei planete telurice (Me, Ve, Te) observăm apariția formanților de ordin superior, ajungându-se ca pentru Mercur să avem chiar un formant de ordinul 5. Aici trebuie să remarcăm că rezoluția în frecvență a analizei spectrale cu perioada de eșantionare de 8.36 zile nu este suficientă pentru planeta Mercur, pentru care ar fi nevoie de o perioadă de eșantionare mai scurtă.

### 6.4 - Formanții de modulație

Un formant de modulație este constituit dintr-o componentă centrală și mai multe componente laterale așezate simetric față de componenta centrală. În fig. 6.4.1 este un asemenea exemplu, în care componenta centrală este  $f_{25}$  ( $f_{Ju1}-f_{Sa1}$ )<sup>13</sup> din tabelul 5.1, însoțită de cele 5 armonice simetrice. Acest formant este la rândul său un element ( $f_{1a}$ ) al formantului A al planetelor gigant, reprezentat în fig. 6.2.1.

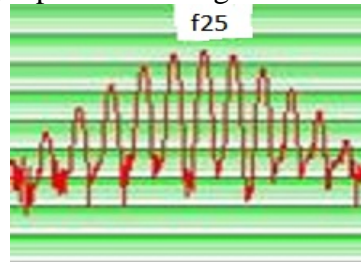


Fig. 6.4.1 Formantul  $f_{25}$

## 7 - Enigma tabelului 1.5.1.B

### 7.1 - Contribuțiile individuale ale planetelor gigant conform tabelului 1.5.1.B

În acest caz anomalia medie  $M$  a planetei  $i$  funcție de timpul  $t$  se calculează cu ecuația:

$$M(i, t) = L(i, t) - \varpi(i, t) + b_i \cdot t^2 + c_i \cdot \cos(f_i \cdot t) + s_i \cdot \sin(f_i \cdot t) \quad (7.1.1)$$

unde  $b, c, s, f$  sunt date în tabelul 1.5.1.B reprodus mai jos pentru comoditate.

Tabelul 1.5.1.B

Planeta	b	c	s	f
Ju	-0.00012452	0.06064060	-0.35635438	38.35125
Sa	0.00025899	-0.13434469	0.87320147	38.35125
Ur	0.00058331	-0.97731848	0.17689245	7.67025
Ne	-0.00041348	0.68346318	-0.10162547	7.67025

#### 7.1.1 - Contribuția lui Jupiter la mișcarea solară

Poziția solară datorată exclusiv lui Jupiter în coordonate ecliptice este dată de ecuațiile:

$$x_{esJu}(t) = -\frac{x_e(4, t)}{q_4} \cdot UA; \quad y_{esJu}(t) = -\frac{y_e(4, t)}{q_4} \cdot UA \quad [km] \quad (7.1.1.1)$$

iar reprezentarea grafică în fig. 7.1.1.1:

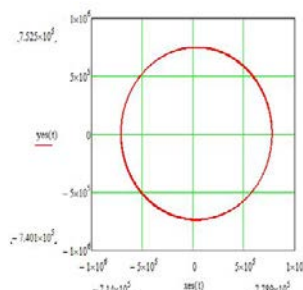


Fig. 7.1.1.1 Poziția solară datorată lui Jupiter

Distribuția derivată de ord. I a poziției solare (viteza solară) datorate lui Jupiter este dată de ecuațiile:

<sup>13</sup> Formant de modulație apărut în cazul folosirii tabelului 1.5.1.B care determină o modulație de amplitudine a fiecărei componente spectrale.

$$v_{xesJu}(t) = \frac{x_{esJu}(t) - x_{esJu}(t - \Delta t)}{N_z}; v_{yesJu}(t) = \frac{y_{esJu}(t) - y_{esJu}(t - \Delta t)}{N_z} \left[ \frac{km}{zi} \right] \quad (7.1.1.2)$$

unde  $x_{esJu}(t)$  și  $y_{esJu}(t)$  sunt date de ecuațiile 7.1.1.1, iar  $v_{xesJu}(t)$  și  $v_{yesJu}(t)$  sunt componentele vitezei orbitale solare datorate lui Jupiter și reprezentate în fig. 7.1.1.2:

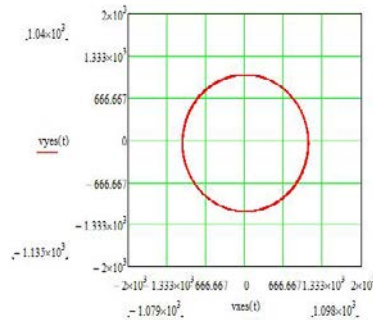


Fig. 7.1.1.2 Componentele vitezei orbitale solare datorate lui Jupiter

Modulul vitezei orbitale solare datorate lui Jupiter este dat de ecuația

$$v_{esJu}(t) = \sqrt{v_{xesJu}(t)^2 + v_{yesJu}(t)^2} \text{ a cărei reprezentare este dată în fig. 7.1.1.3.}$$

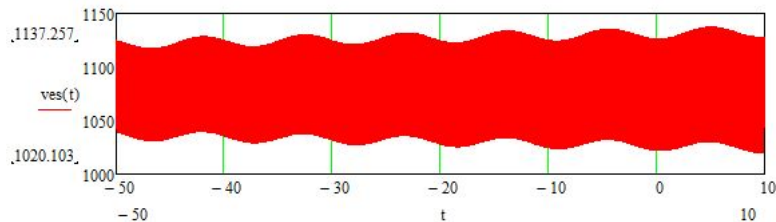


Fig. 7.1.1.3 Modulul vitezei orbitale solare datorate lui Jupiter

Distribuția derivată de ord. II a poziției solare datorate lui Jupiter (acelerația orbitală solară) este dată de ecuațiile:

$$a_{xesJu}(t) = \frac{v_{xesJu}(t) - v_{xesJu}(t - \Delta t)}{N_z}; a_{yesJu}(t) = \frac{v_{yesJu}(t) - v_{yesJu}(t - \Delta t)}{N_z} \left[ \frac{km}{zi^2} \right] \quad (7.1.1.3)$$

unde  $v_{xesJu}(t)$  și  $v_{yesJu}(t)$  sunt date de ecuațiile 7.1.1.2, iar  $a_{xesJu}(t)$  și  $a_{yesJu}(t)$  sunt componentele accelerației orbitale solare datorate lui Jupiter și reprezentate în fig. 7.1.1.4:

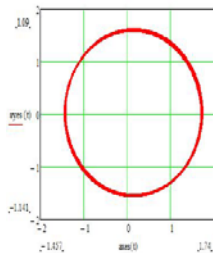


Fig. 7.1.1.4 Componentele accelerației orbitale solare datorate lui Jupiter

Modulul accelerației orbitale solare  $a_{esJu}(t) = \sqrt{a_{xesJu}(t)^2 + a_{yesJu}(t)^2}$  produsă de Jupiter este reprezentat în fig. 7.1.1.5:

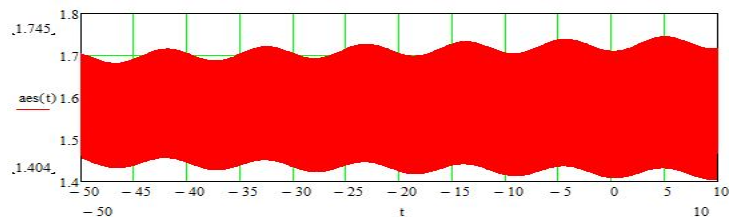


Fig. 7.1.1.5 Modulul accelerației orbitale solare datorate lui Jupiter

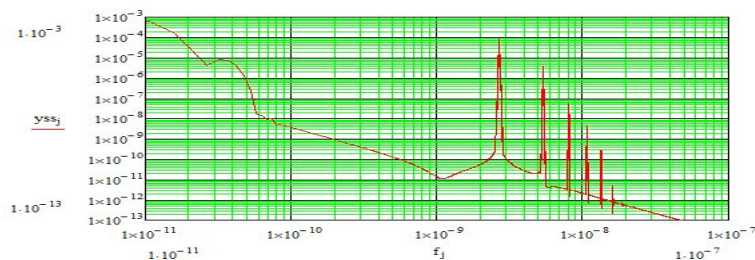


Fig. 7.1.1.6 Spectru aesJu pg

Componentele spectrale mai importante ca amplitudine ale contribuției joviene la *aes* solară care rezultă din fig. 7.1.1.6 sunt date în tabelul 7.1.1.1.

Tabelul 7.1.1.1

Frecvența [Hz]	Amplitudinea	Comentarii
$f_m=3.433e-011$ 923 ani		
$f_1=2.6724e-009$	$7.7902e-005$	$f_{Ju1}$
$f_2=5.3447e-009$	$3.8539e-006$	$f_{Ju2}=2f_{Ju1}$ $q_a=18.51$
$f_3=8.0171e-009$	$5.5423e-008$	$f_{Ju3}=3f_{Ju1}$
$f_4=1.0721e-008$	$4.3625e-009$	$f_{Ju4}=4f_{Ju1}$
$f_5=1.3325e-008$	$2.694e-010$	$f_{Ju5}=5f_{Ju1}$

Față de rezultatele analizei contribuției lui Jupiter prezentate în par. 3.1 cu neglijarea tabelului 1.5.1.B, observăm că în cazul folosirii ecuației 7.1.1 apar diferențe notabile numai în cazul distribuțiilor temporale ale vitezei și accelerației orbitale solare. Constatăm că la ambii parametri a apărut o variație sinusoidală suprapusă peste valoarea din graficele din par. 3.1. Această variație, în urma analizei spectrale ne apare cu frecvența  $f_m$  în tabelul 7.1.1.1, la care corespunde o perioadă de 923 ani. De asemenea componentele spectrale  $f_1...f_5$  ne apar ușor modulate în amplitudine<sup>14</sup>.

### 7.1.2 - Contribuția lui Saturn la mișcarea solară

Așa cum am văzut în cazul lui Jupiter, și în cazul lui Saturn dacă folosim datele din tabelul 1.5.1.B apar diferențe notabile doar între graficele derulate în timp ale parametrilor orbitalului solar. În fig. 7.1.2.1 avem graficul modulului vitezei orbitale solare datorate lui Saturn, iar în fig. 7.1.2.2 graficul modulului accelerației orbitale solare datorate lui Saturn.

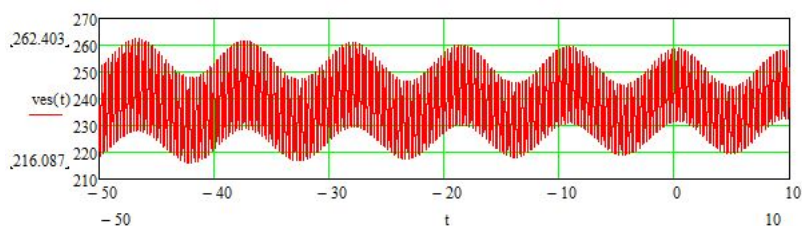


Fig. 7.1.2.1 Modulul vitezei orbitale solare datorate lui Saturn

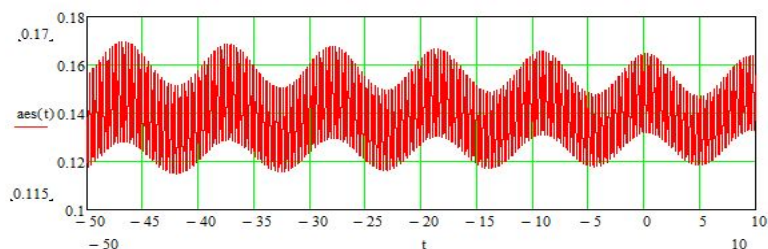


Fig. 7.1.2.2 Modulul accelerației orbitale solare datorate lui Saturn

<sup>14</sup> Componentele modulației în amplitudine ne apar dacă facem un zoom extrem al fig. 7.1.1.6.

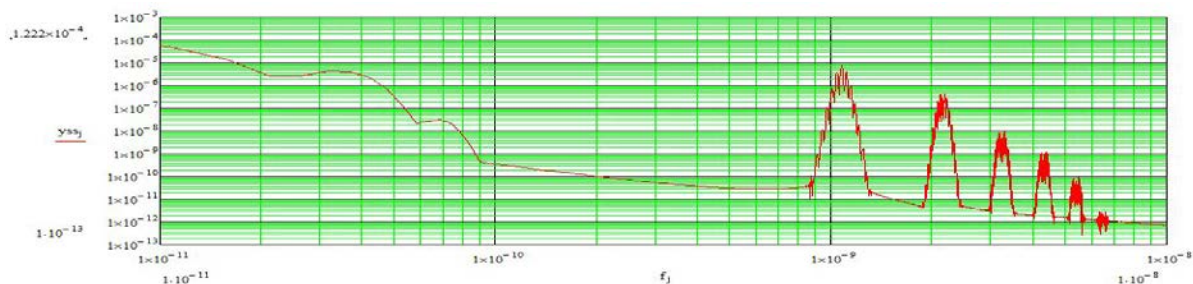


Fig. 7.1.2.3 Spectru aesSa

Tabelul 7.1.2.1

Frecvența [Hz]	Amplitudinea	Comentarii
$f_{m1}=3.433e-011$ 923 ani		
$f_{m2}=6.8658e-011$		$2f_{m1}$
$f_1=1.0774e-009$	$7.557e-006$	$f_{Ju1}$
$f_2=2.1495e-009$	$2.7573e-007$	$f_{Ju2}=2f_{Ju1}$ $q_a=27.4$
$f_3=3.2269e-009$	$2.1303e-009$	$f_{Ju3}=3f_{Ju1}$
$f_4=4.3043e-009$	$7.4496e-010$	$f_{Ju4}=4f_{Ju1}$
$f_5=5.3711e-009$	$6.8558e-011$	$f_{Ju5}=5f_{Ju1}$

În cazul spectrului *aesSa* observăm că modulația cu  $f_m$  este mai puternică decât în cazul lui Jupiter (apare armonica a doua  $f_{m2}$ ), iar componentele spectrale  $f_1...f_5$  ne apar clar multiplu modulate în amplitudine.

Comentariul 7.1.2.1: În spectrul *aesSa* devine vizibil pentru fiecare componentă spectrală un formant de modulație în centrul căruia se află o componentă spectrală ( $f_1...f_5$ ) și armonicile de modulație egal distanțate.

### 7.1.3 - Contribuția lui Uranus la mișcarea solară

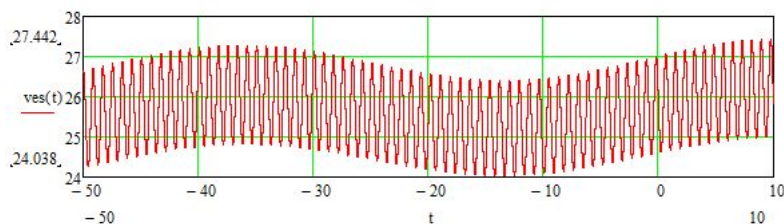


Fig. 7.1.3.1 Modulul vitezei orbitale solare datorate lui Uranus

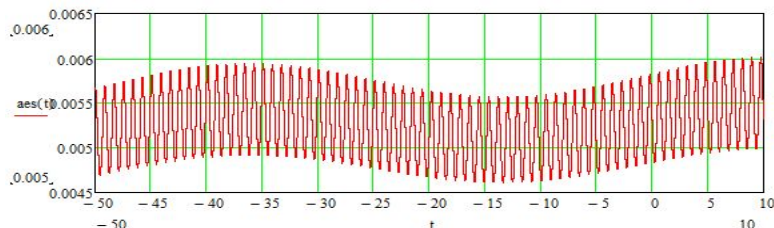


Fig. 7.1.3.2 Modulul accelerației orbitale solare datorate lui Uranus

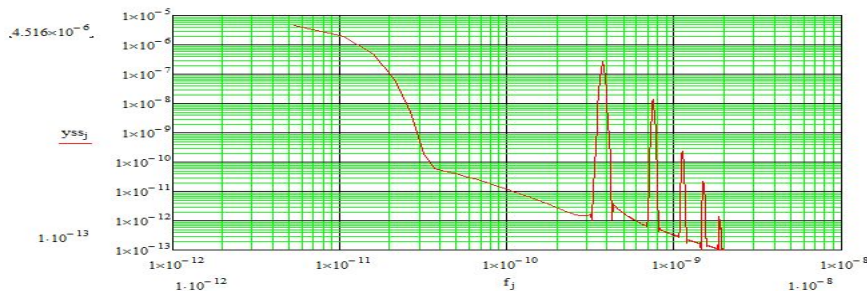


Fig. 7.1.3.3 Spectru aesUr

Datorită faptului că intervalul de eșantionare de 60 de secole cuprinde doar o singură perioadă a variației parametrilor orbitali ai Soarelui provocate de Uranus, analiza spectrală este imposibilă. Din graficul 7.1.3.1 se estimează o perioadă de cca 5000 de ani.

Tabelul 7.1.3.1

Frecvența	Amplitudinea	Comentarii
$f_{m3} \sim 1.0e-011$ cca 5000 ani		estimată grafic
$f_1=3.7498e-010$	$2.6006e-007$	$f_{Ur1}$
$f_2=7.4467e-010$	$1.4022e-008$	$f_{Ur2}=2f_{Ur1}$ $q_{Ur}=18.55$
$f_3=1.1144e-009$	$2.3521e-010$	$f_{Ur3}=3f_{Ur1}$
$f_4=1.4893e-009$	$2.2034e-011$	$f_{Ur4}=4f_{Ur1}$

### 7.1.4 - Contribuția lui Neptun la mișcarea solară

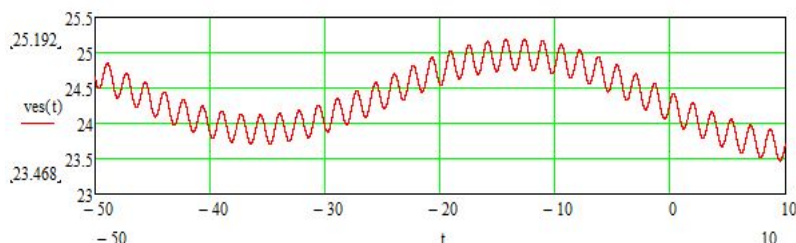


Fig. 7.1.4.1 Modulul vitezei orbitale solare datorate lui Neptun

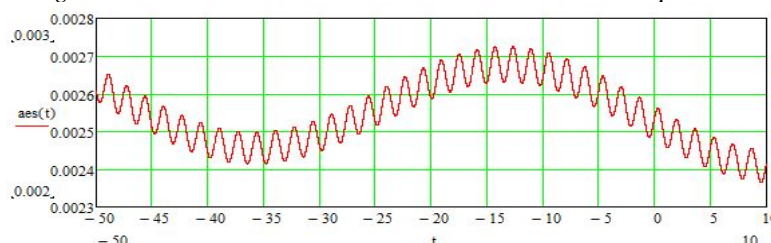


Fig. 7.1.4.2 Modulul accelerației orbitale solare datorate lui Neptun

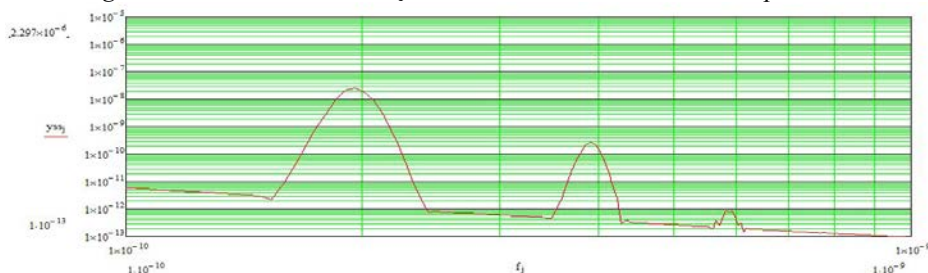


Fig. 7.1.4.3 Spectru  $aesNe$

Datorită faptului că intervalul de eșantionare de 60 de secole cuprinde doar o singură perioadă a variației parametrilor orbitali ai Soarelui provocate de Neptun, analiza spectrală nu poate evidenția frecvența de modulație.

Tabelul 7.1.4.1

Frecvența	Amplitudinea	Comentarii
$f_{m3} \sim 1.0e-011$ cca 5000 ani		estimată grafic
$f_1=1.9541e-010$	$2.5754e-008$	$f_{Ne1}$
$f_2=3.9082e-010$	$2.6535e-010$	$f_{Ne2}=2f_{Ne1}$ $q_{Ne}=97.1$
$f_3=5.8623e-010$	$7.7001e-013$	$f_{Ne3}=3f_{Ne1}$

## 7.2 - Componentele spectrale ale parametrului $aes$ solar pentru toate planetele cu corecțiile din tabelul 1.5.1.B

Spectrul  $aes$  solar în varianta folosirii tabelului 1.5.1.B este prezentat în fig. 7.2.1 din care putem observa mari diferențe față de cel din fig. 5.1 (reprodus în fig. 7.2.3), în special apariția a numeroși formați de modulație în jurul tuturor componentelor spectrale importante, formați rezultați în urma modulației cu  $f_{m1}$ .

Comentariul 7.2.1: Este evident că ar trebui să apară și formați de modulație cu  $f_{m3}$ , dar având o valoare atât de mică nu pot fi evidențiați la o analiză spectrală pe intervalul de 60 de secole. În schimb formații de modulație cu  $f_{m1}$  există cu prisosință.

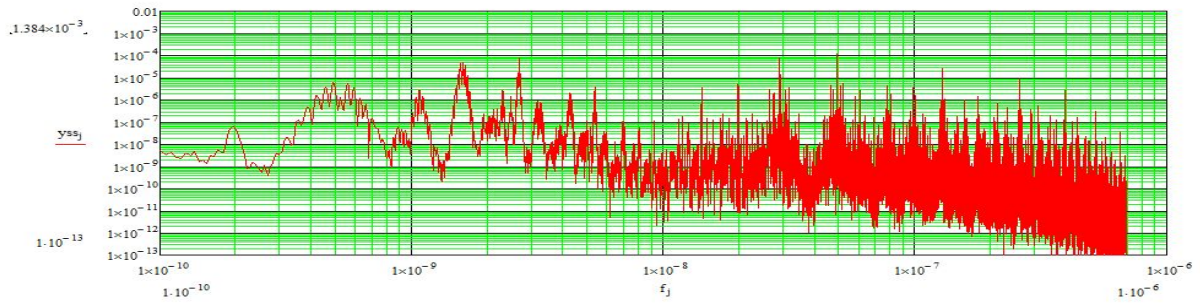


Fig. 7.2.1 Spectru aes pentru toate planetele pe baza datelor din tabelul 1.5.1.B

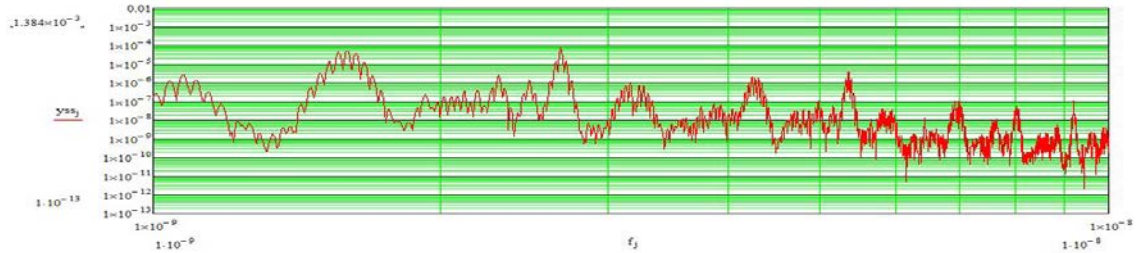


Fig. 7.2.2 Spectru aes pentru toate planetele pe baza datelor din tabelul 1.5.1.B zoom1

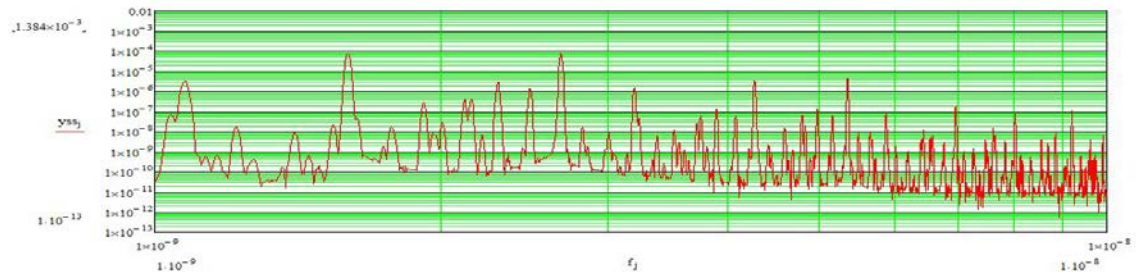


Fig. 7.2.3 Spectru aes pentru toate planetele fără datele din tabelul 1.5.1.B zoom1

Dacă vom compara cele două spectre din fig. 7.2.2 și 7.2.3 vom înțelege de ce am preferat să facem analiza orbitalului solar mai întâi fără datele din tabelul 1.5.1.B.

### 7.3 - Analiza tabelului 1.5.1.B

Anomalia medie a planetei  $i$  funcție de timpul  $t$  conform [1] este dată de ecuația 7.1.1 pe care o putem scrie:  $M(i,t) = M1(i,t) + M2(i,t)$ , unde  $M1(i,t) = Lc(i,t) - \omega p(i,t)$  este anomalia medie fără datele din tabelul B, iar  $M2(i,t) = b_i \cdot t^2 + c_i \cdot \cos(f_i \cdot t) + s_i \cdot \sin(f_i \cdot t)$  este corecția anomaliai medii datorate tabelului B. Graficele celor două componente ale anomaliai medii pentru planetele gigant sunt date în figurile următoare:

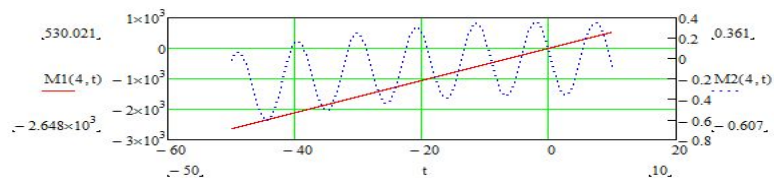


Fig. 7.3.1 Componentele anomaliai medii pentru Jupiter

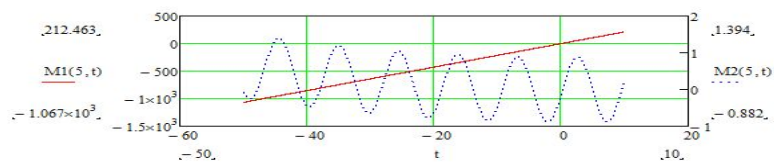


Fig. 7.3.2 Componentele anomaliai medii pentru Saturn

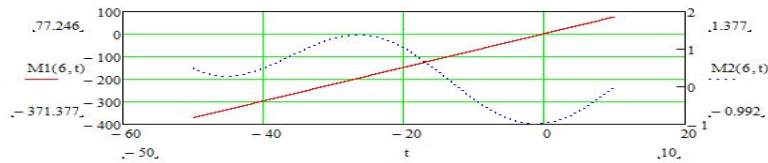


Fig. 7.3.3 Componentele anomaliei medii pentru Uranus

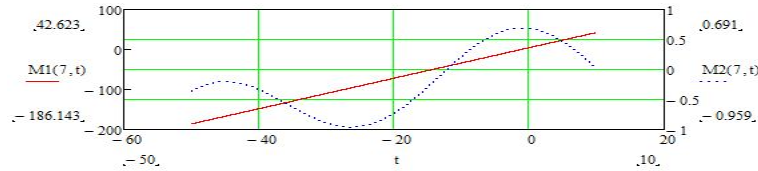


Fig. 7.3.4 Componentele anomaliei medii pentru Neptun

Ponderile corecțiilor anomaliei medii pentru planetele gigant ce rezultă din fig. 7.3.1-7.3.4 sunt de 0.03% pentru Jupiter, de 0.18% pentru Saturn, de 0.53% pentru Uranus și de 0.72% pentru Neptun.

Tabelul 1.5.1.B implementează așadar o variație periodică în anomalia medie a planetelor gigant, variație de forma  $\alpha_i(t) + \beta_i(t)$  unde:

- $\alpha_{Ju}(t) = 0.0606406 \cdot \cos(\omega_1 \cdot t) - 0.35635438 \cdot \sin(\omega_1 \cdot t)$  pentru Jupiter;
- $\alpha_{Sa}(t) = -0.13434469 \cdot \cos(\omega_1 \cdot t) + 0.87320147 \cdot \sin(\omega_1 \cdot t)$  pentru Saturn;
- $\alpha_{Ur}(t) = -0.97731848 \cdot \cos(\omega_2 \cdot t) + 0.17689245 \cdot \sin(\omega_2 \cdot t)$  pentru Uranus;
- $\alpha_{Ne}(t) = 0.68346318 \cdot \cos(\omega_2 \cdot t) - 0.10162547 \cdot \sin(\omega_2 \cdot t)$  pentru Neptun, unde:
  - $\omega_1 = 38.35125$  grade/secol;  $T_1 = 938.7$  ani;  $f_{m1} = 3.37574e-011$  Hz
  - $\omega_2 = 7.67025$  grade/secol;  $T_2 = 4693.5$  ani;  $f_{m2} = 6.75148e-012$  Hz
- $\beta_{Ju}(t) = -0.00012452 \cdot t^2$ ;
- $\beta_{Sa}(t) = 0.00025899 \cdot t^2$ ;
- $\beta_{Ur}(t) = 0.00058331 \cdot t^2$ ;
- $\beta_{Ne}(t) = -0.00041348 \cdot t^2$

Observăm că  $\omega_1 = 5\omega_2$ ,  $T_2 = 5T_1$ . Din ecuația Kepler  $\frac{a^3}{T^2} = G \frac{m_s + m_p}{4 \cdot \pi^2} \approx 2.971 \times 10^{-19}$ , rezultă  $a_1 = 95.88$  UA față de 9.54 UA cât are orbita lui Saturn, iar  $a_2 = 280.35$  UA față de 30 UA cât are orbita lui Neptun. De asemenea,  $f_{m1} = 33.75e-012$  Hz ar corespunde orbitalului cu  $n=5$  ( $2^5=32$ ), iar  $f_{m2}$  la orbitalul cu  $n=3$  (vezi [4]).

Comentariul 7.3.1: În 2003 astronomii de la California Institute of Technology au descoperit obiectul UB313, numit ulterior Eris<sup>15</sup>, estimat cu un diametru de 3000 km, aflat la cca 67 UA față de Soare și cu perioada de cca 560 de ani. Obiectele care ar putea produce perturbațiile indicate mai sus, judecate după amplitudinea acestor perturbații asupra unor planete gigant nu pot fi decât comparabile ca mărime cu acestea.

Componentele perturbației  $\alpha$  pentru 60 de secole sunt date în fig. 7.3.5, unde se observă niște caracteristici foarte interesante:

1. Dependența de timp a perturbațiilor are formă eliptică (excentricitatea  $\sim 0.99$ );
2. Perturbațiile ce revin planetelor Jupiter și Saturn sunt similare, dar ale lui Saturn sunt mai mari, la fel sunt similare cele ale lui Neptun și Uranus, dar ale lui Neptun sunt mai mari;
3. Elipsele ce descriu perturbațiile Ju&Sa, au axele perpendiculare pe axele elipselor Ur&Ne, adică sunt independente între ele (acest aspect împreună cu raportul exact de 1 la 5 al frecvențelor fac să apară serioase motive de suspiciune privind caracterul artificial al datelor din tabelul 1.5.1.B);

<sup>15</sup> Patricia Daniels - The New Solar System Ice Worlds, Moons, and Planets Redefined NATIONAL GEOGRAPHIC

4. Mărimea elipselor poate fi pusă în legătură cu distanța față de sursa perturbației, cu alte cuvinte Jupiter este mai departe de sursa perturbației decât Saturn, la fel și Uranus este mai departe decât Neptun;

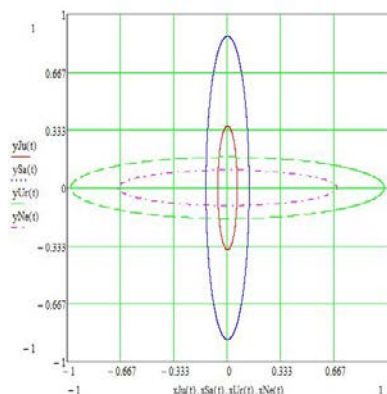


Fig. 7.3.5 Componentele perturbației  $a(t)$

Influențele combinate ale perturbațiilor  $\alpha$  și  $\beta$  sunt prezentate în fig. 7.3.6:

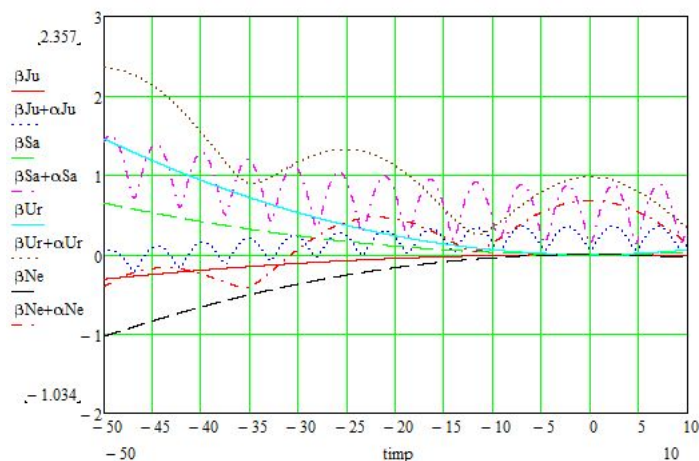


Fig. 7.3.6 Componentele  $a(t)$  și  $\beta(t)$  pentru 60 secole

Toate aceste constatări ne duc inevitabil la câteva concluzii:

1. Fie tabelul 1.5.1.B este o farsă extrem de elaborată menită să conducă la presupuneri fanteziste pe eventualul cercetător ce utilizează datele din lucrarea [1], caz în care nu ar trebui să ținem cont de el (Întrădevar, dacă nu ținem cont de tabelul 1.5.1.B în orbitele planetelor gigant nu apar niciun fel de modulații, așa cum am văzut în par. 3);

2. Fie corecțiile introduse de tabelul 1.5.1.B sunt corecte, adică ele ajută la stabilirea mai precisă a pozițiilor planetelor gigant, caz în care trebuie să ținem cont de cauzele apariției unor astfel de perturbații, adică de existența a două planete necunoscute ce populează orbitalii cu  $n=5$  și  $n=3$  (vezi [4]).

3. În cazul veridicității tabelului 1.5.1.B și a concluziei de mai sus, este oarecum de înțeles tăcerea în massmedia a celor de la Jet Propulsion Laboratory, deoarece dovada clară a existenței unor noi planete gigant în sistemul nostru solar este o descoperire majoră ce trebuie dovedită de observații astronomice concrete. Impedimentul major în ce privește verificarea existenței acestor planete este însă distanța la care se află: 95 UA respectiv 279 UA față de Terra.

4. Așa cum menționam în comentariul 7.3.1, amplitudinile perturbațiilor provocate asupra mișcării unor planete gigant nu pot fi concepute ca venind de la niște planetoizi gen Pluton sau Eris, ci tot de la planete comparabile ca mărime (poate chiar mai mari).



## 8 - Analiza influenței accelerației solare asupra activității solare

### 8.1 - Introducere

Termenul generic *activitate solară* cuprinde în prezent foarte multe variabile unele periodice (număr de pete solare, constanta solară etc.), altele aperiodice (erupții de pasmă, variații ale vântului solar etc.). În acest paragraf este vorba de manifestările periodice, în special de numărul de pete solare a cărui variație periodică este numită *ciclu solar*.

Petele solare (sunspots) sunt depresiuni ale atmosferei solare (conform [8], efectul Wilson) cu temperatura cu cca 1500 K mai scăzută față de temperatura Soarelui (motiv pentru care ne apar negre), cu zona centrală numită *umbra* înconjurată de o zonă mai puțin întunecată numită *penumbra*. Penumbra are o structură formată din fibre (fibriles) strălucitoare de cca 350-700 km lățime și 1500-2800 km lungime îndreptate oblic spre umbra. Toate petele solare au un câmp magnetic de la 1800 la 4000 gauss în funcție de dimensiunea lor. Dimensiunea tipică a petelor solare este de cca 10000 km iar durata de la câteva zile la câteva luni.

Comentariul 8.1.1: Examinând unele fenomene fizice ce apar în atmosferele planetare sau la suprafața Soarelui și pornind de la observația generală conform căreia fenomenele fizice similare au cauze similare<sup>16</sup>, putem constata o similitudine între structura unei pete solare și structura cicloanelor din atmosfera terestră, dar mai ales din atmosfera lui Jupiter unde sunt omniprezente. La un ciclon se remarcă o zonă centrală (ochiul ciclonului) fără o circulație aparentă, înconjurată de o zonă cu puternică circulație în spirală (ciclonul propriu zis). Direcția de rotație a ciclonului din emisfera nordică este inversă față de cea din emisfera sudică, mișcarea ciclonică apărând în zonele cu distribuție neuniformă pe latitudine a vitezei de rotație a atmosferei. După cum se știe și Soarele are o distribuție neuniformă pe latitudine a vitezei de rotație axiale, existând și în cazul său posibilitatea apariției cicloanelor, așa că filosofia obiectuală susține că petele solare sunt cicloane apărute la suprafața Soarelui, umbra fiind echivalentul ochiului ciclonului, iar penumbra fiind echivalentul zonei cu circulație spirală a ciclonului.

Așa cum am văzut în [6], accelerația unui sistem material (SM) este efectul unui aport de energie cinetică în urma acțiunii unui flux energetic asupra respectivului SM. Tot în [6] am văzut că forța este un flux energetic transmis prin suprafața reală de separație (SRS) a unui SM, flux distribuit mediului interior al acestui SM. În cazul Soarelui, forța este cea gravitațională, produsă de toate planetele, forță<sup>17</sup> ce pune în mișcare Soarele pe orbitalul său.

Dacă vorbim de mișcarea Soarelui, am văzut până acum că au apărut două tipuri de accelerație solară:

1. Accelerația orbitală ca variație a vitezei orbitale a Soarelui, accelerație având direcția tangentei la traiectoria solară;
2. Accelerația radială ca variație a vitezei radiale a Soarelui, accelerație având direcția razei vectoriale (a vectorului de poziție solar) față de CM.

Cele două tipuri de accelerație sunt reciproc perpendiculare, am putea spune că ele sunt independente între ele. Faptul că accelerația orbitală se manifestă dealungul traiectoriei solare, iar produsul dintre această accelerație și masa solară ne dă forța ce acționează asupra Soarelui a dus la concluzia că mișcarea pe o traiectorie închisă poate fi pusă în legătură cu o rotație a unui câmp vectorial (teorema Green) pe care o vom analiza în par. 8.2.1.

Deoarece înregistrările activității solare (sub forma numărului de pete solare observate) există doar de câteva secole, am redus intervalul temporal de analiză de la 60 de secole (perioada de valabilitate a tabelului efemeridelor) la intervalul 1750-2030, interval în care se încadrează cele 24 de cicluri solare aflate în evidența astronomilor, cicluri a căror listă este dată în tabelul 8.2.2 (coloanele 1-3).

---

<sup>16</sup> Maxwell J.C. - *Matter and Motion* (1925) Ch.1.19 Maxima generală a fizicii: There is a maxim which is often quoted, that "The same causes will always produce the same effects." or "That like causes produce like effects."

<sup>17</sup> Forța ce pune în mișcare Soarele în jurul CM este rezultanta unică a tuturor forțelor gravitaționale ale planetelor ce-l înconjoară.

## 8.2 - Analiza accelerației orbitale solare

În fig. 8.2.1 este reprezentat parametrul *aes* solar provocat de toate planetele<sup>18</sup>, în fig. 8.2.2 același parametru, dar provocat doar de planetele gigant, iar în fig. 8.2.3 parametrul *aes* 0-7 din fig. 8.2.1 filtrat cu funcția **medsmooth**(*aes\_0-7*,183), din care putem vedea că planetele telurice au o contribuție destul de mică la accelerația orbitală solară<sup>19</sup>.

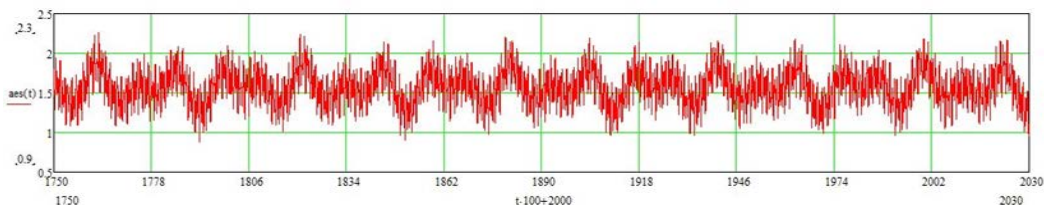


Fig. 8.2.1 aes 0-7

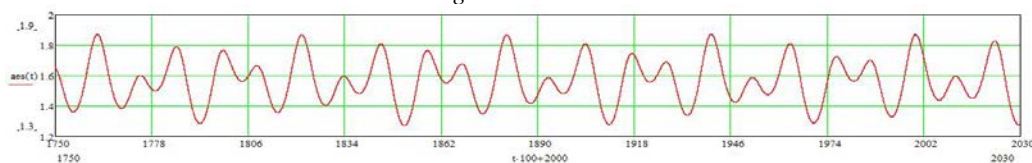


Fig. 8.2.2 aes 4-7

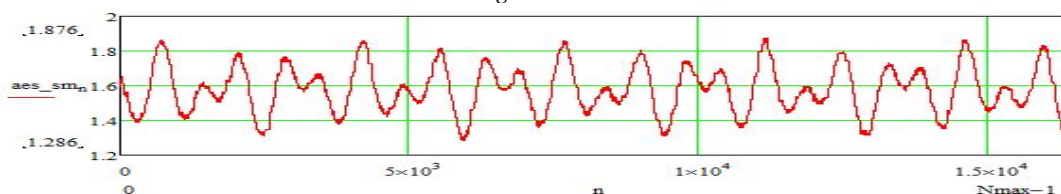


Fig. 8.2.3 aes 0-7\_sm

Analiza spectrală a parametrului *aes* 4-7 reprezentat în fig. 8.2.2 are ca rezultat următorul spectru:

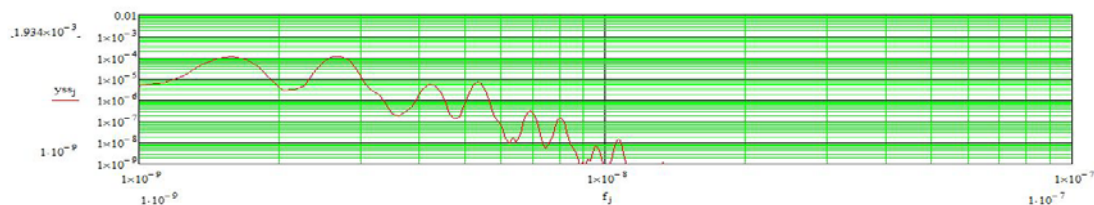


Fig. 8.2.4 Spectru aes 4-7 pg

Componentele spectrului din fig. 8.2.4 sunt date în tabelul 8.2.1, unde în ultima coloană este dată eroarea procentuală dintre valoarea exactă a frecvenței componentelor (col. 5) și valoarea din col. 2.

Tabelul 8.2.1

Nr.	Frecvența [Hz]	Perioada [ani]	Amplitudinea	Componente	Eroarea [%]
f01	1.5844e-09	19.999	1.6459e-04	fJu1-fSa1 (1.5950e-09)	0.665
f02	2.6595e-09	11.915	1.6335e-04	fJu1 (2.6724e-09)	0.483
f03	4.1874e-09	7.567	7.6567e-06	fJu2-fSa1 (4.2673e-09)	1.872
f04	5.3191e-09	5.957	1.0448e-05	fJu2 (5.3447e-09)	0.479
f05	6.9035e-09	4.59 * <sup>20</sup>	4.3627e-07	fJu3-fSa1 (6.9344e-09)	0.446
f06	8.0352e-09	3.94	1.9511e-07	fJu3 (8.0118e-09)	-0.292
f07	9.5064e-09	3.33	9.9133e-09	fJu4-fSa1 (9.6066e-09)	1.043
f08	1.0638e-08	2.98	2.0764e-08	fJu4 (1.0684e-08)	0.431

<sup>18</sup> Un fragment mult expandat al graficului din fig. 2.3.2

<sup>19</sup> Zgomotul apărut pe fig. 8.2.1 este tocmai contribuția planetelor telurice la *aes* solar.

<sup>20</sup> Amplitudinea componentelor f05...f08 este de peste 370 ori mai mică decât f01, așa că nu mai contează.

Din tabelul 8.2.1 observăm că parametrul *aes* solar este “opera” a doar două planete gigant - Jupiter și Saturn - celelalte planete gigant Uranus și Neptun neavând (în perioada de timp analizată) nicio contribuție. De asemenea, amplitudinea primelor două componente (*f01*, *f02* cu perioadele  $T01=19.999$  ani și  $T02=11.915$  ani) este de peste 15 ori mai mare decât amplitudinea următoarelor două (*f03*, *f04* cu perioadele  $T03=7.567$  ani,  $T04=5.957$  ani).

Dacă în locul accelerației solare exacte *aes* vom calcula accelerația medie *ames* cu ecuația:

$$ames(t) = \frac{ves(t) - ves(t - \Delta t)}{N_z} \quad (8.1)$$

unde *ves(t)* este modulul vitezei orbitale solare, vom obține graficul comparativ *aes-ames* din fig. 8.2.5.

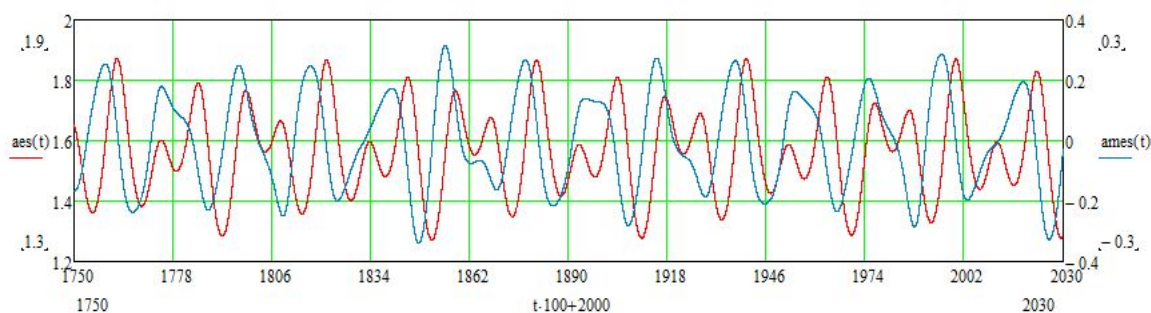


Fig. 8.2.5 Graficul comparativ aes 4-7-ames 4-7

Din graficul 8.2.5 observăm că unele detalii din variația *aes* se estompează în cazul *ames*, dar anii de maxim și minim ai *ames* sunt mai aproape (decalaj mai mic) de anii ciclurilor din lista acestora (coloanele 2 și 3).

Lista anilor cu minime *ames* - 1766.5, 1787.9, 1809.2, 1824.6, 1847.5, 1869.5, 1885.5, 1906.9, 1928.7, 1945.4, 1965.9, 1987.9, 2002.9, 2026.1.

Lista anilor cu maxime *ames* - 1758.8, 1775, 1796.7, 1816.7, 1839.8, 1855.1, 1877.8, 1894.6, 1914.9, 1937.2, 1954.1, 1974.9, 1995.6, 2018.6.

Tabelul 8.2.2

Nr. ciclu	An minim lista	An maxim lista	An minim aes 4-7	An maxim aes 4-7	Decalaj aes max ani	An min. ames 4-7	An max. ames 4-7
1	1755/02	1761/05	1755.3	1762.2	0.7		1758.8
2	1766/06	1771/05	1769.3	1774.7	3.2	1766.5	1775
3	1775/06	1778/01	1778.9	1785.2	7.1		
4	1784/09	1787/12	1792.1	1798.7	10.7	1787.9	1796.7
5	1798/04	1805/11	1804.2	1808.6	2.7	1809.2	1816.7
6	1810/08	1817/03	1814.6	1821.5	4.2		
7	1823/04	1830/04	1828.4	1833.7	3.3	1824.6	
8	1833/11	1837/01	1838.4	1844.5	7.4		1839.8
9	1843/07	1849/01	1851.3	1857.9	8.8	1847.5	1855.1
10	1855/12	1860/07	1863.5	1868.1	7.4		
11	1867/04	1870/05	1874.1	1881	10.5	1869.5	1877.8
12	1878/12	1884/01	1887.8	1892.9	8.8	1885.5	
13	1890/01	1893/08	1897.4	1903.8	10		1894.6
14	1901/12	1906/07	1910.9	1917.3	10.6	1906.9	
15	1913/06	1917/08	1922.6	1927.2	9.4		1914.9
16	1923/09	1929/12	1933.4	1940.3	10.3	1928.7	
17	1933/10	1937/02	1947.2	1952.3	15.1		1937.2
18	1944/02	1947/07	1956.8	1963.2	15.5	1945.4	1954.1
19	1954/04	1957/10	1970.1	1976.7	18.9		

20	1964/10	1968/05	1981.7	1986.5	18	1965.9	1974.9
21	1976/03	1979/01	1992.6	1999.6	20.5		
22	1986/07	1990/08	2006.4	2011.3	20.5	1987.9	1995.6
23	1996/08	2000/07	2016.1	2022.6	22	2002.9	
24	2008/11		2029.5		20.5		2018.6

Examinând figurile 8.2.1...8.2.3 și datele din tabelul 8.2.2 putem constata un fapt remarcabil: numărul valorilor minime și maxime din graficele accelerației orbitale solare este identic cu numărul de cicluri ale activității solare din tabelul 8.2.2. Datele (anii) la care au loc respectivele evenimente însă prezintă un decalaj progresiv exagerat de mare (cca 20 de ani la ultimele cicluri), care deocamdată nu poate fi explicat.

Comentariul 8.2.1.1: Dacă privim fig. 8.2.1 vedem că amplitudinea aes datorată planetelor gigant este preponderentă iar amplitudinea componentei telurice (zgomotul) este mai mică, însă fără a fi neglijabilă. Până la urmă între relațiile care modelează valorile  $aes_{4-7}$ ,  $ames_{4-7}$  și  $aes_{0-3}$  se află relația ce modelează mai aproape de realitate ciclurile petelor solare, relație care ar putea permite pognoza acestui fenomen.

### 8.2.1 Analiza influenței accelerației orbitale solare asupra activității solare folosind teorema Green

În calculul câmpurilor vectoriale sunt cunoscute două teoreme: Green și Stokes, ambele definind o relație între circulația unui vector pe o curbă închisă și rotorul aceluia vector pe suprafața delimitată de curba respectivă. În cazul teoremei Green suprafața este plană, iar în cazul Stokes teorema este valabilă pentru orice suprafață mărginită de curba închisă. Deoarece mișcarea solară<sup>21</sup> se face după o curbă plană ce include o suprafață plană, este suficient să apelăm la teorema Green. Fie un vector  $\vec{F}(x, y) = P(x) \cdot \vec{i} + Q(y) \cdot \vec{j}$  ( $\vec{i}, \vec{j}, \vec{k}$  fiind versorii axelor X, Y, Z) ce se mișcă pe o curbă închisă  $C$ , curbă ce mărginește o suprafață plană  $R$ .

Teorema Green ne spune că:

$$\oint_C (Pdx + Qdy) = \oint_R \left( \frac{\partial Q}{\partial x} - \frac{\partial P}{\partial y} \right) dA \quad (8.2.1.1)$$

sau:

$$\oint_C \vec{F} \cdot d\vec{l} = \oint_R (\nabla \times \vec{F}) \cdot \vec{k} dA \quad (8.2.1.2)$$

unde  $d\vec{l} = dx \cdot \vec{i} + dy \cdot \vec{j}$  și  $\nabla \times \vec{F} = \text{rot}\vec{F}$  este rotorul vectorului  $\vec{F}$ ,  $dA$  fiind elementul de arie al suprafeței  $R$ .

În cazul nostru vectorul  $\vec{F}_i = m_s \cdot \vec{a}_{esi}$  unde  $m_s$  este masa Soarelui, iar  $\vec{a}_{esi}$  este accelerația orbitală solară în coordonate ecliptice provocată de planeta  $i$ , cu alte cuvinte  $\vec{F}_i$  este forța gravitațională exercitată de planeta  $i$  asupra Soarelui. În membrul stâng al ecuației 8.2.1.2 produsul  $\vec{F} \cdot d\vec{l}$  reprezintă lucrul mecanic elementar al forței gravitaționale, iar integrala pe curba  $C$  a acestui lucru mecanic înseamnă energia transferată Soarelui în timp de o perioadă de către planeta  $i$ . Această energie are o componentă rotațională, componentă ce poate influența atât viteza orbitală a Soarelui cât și mișcarea sa de rotație internă (vezi par. 8.1).

Să revenim la scopul apelării la teorema Green, și anume - geneza activității solare în urma mișcărilor Soarelui provocate de mișcările planetelor ce-l înconjoară. Asta deoarece mișcarea solară are loc după traiectorii eliptice plane, câte una pentru fiecare planetă, elipse cu formă și dimensiuni cunoscute, suprafața delimitată de fiecare elipsă  $i$  având distribuită pe ea rotorul forței de atracție dintre planeta  $p_i$  și Soare. Prezența unui câmp rotorice în interiorul fiecărei traiectorii solare este motivul unei posibile influențe rotorice asupra mișcărilor

<sup>21</sup> Este vorba de mișcarea solară datorată unei anumite planete.

interne solare, mișcări ce pot stimula mișcarea de rotație proprie a Soarelui (sau a unei porțiuni din el) și de aici numărul cicloanelor de la suprafața solară (numărul de pete). Să facem câteva estimări numerice pornind de la următoarele date: raza Soarelui  $R_s = 6.9599 \cdot 10^5$  km la care corespunde o arie ecuatorială solară  $S_s = 1.5218 \cdot 10^{12}$  km<sup>2</sup>. Aria orbitei solare provocate de planeta  $i$  este  $S_i = \pi a_i b_i$ , iar raportul dintre aria orbitei solare și aria solară este  $k_i = S_i / S_s$ .

Tabelul 8.2.1.1

$i$	Planeta	$a_i$ [km]	$b_i$ [km]	$S_i$ [km <sup>2</sup> ]	$k_i$	$aesm_i$ [m/s <sup>2</sup> ]	$Pmed_i$ [J/s ; W]
1	Mercur	9.614	9.408	284.152	$3.94 \cdot 10^{-11}$	$7.395 \cdot 10^{-9}$	$1.155 \cdot 10^{20}$
2	Venus	264.874	264.868	$2.204 \cdot 10^5$	$1.448 \cdot 10^{-7}$	$2.774 \cdot 10^{-8}$	$4.730 \cdot 10^{21}$
3	Terra	456.028	455.476	$6.525 \cdot 10^5$	$4.288 \cdot 10^{-7}$	$1.804 \cdot 10^{-8}$	$3.256 \cdot 10^{21}$
4	Marte	73.561	73.240	16925.67	$1.112 \cdot 10^{-8}$	$8.459 \cdot 10^{-10}$	$1.307 \cdot 10^{19}$
5	Jupiter	$7.431 \cdot 10^5$	$7.422 \cdot 10^5$	$1.733 \cdot 10^{12}$	1.139	$2.108 \cdot 10^{-7}$	$5.227 \cdot 10^{24}$
6	Saturn	$2.225 \cdot 10^5$	$2.221 \cdot 10^5$	$1.552 \cdot 10^{11}$	0.102	$1.929 \cdot 10^{-8}$	$5.622 \cdot 10^{22}$
7	Uranus	$1.255 \cdot 10^5$	$1.254 \cdot 10^5$	$4.944 \cdot 10^{10}$	0.0325	$7.098 \cdot 10^{-10}$	$4.196 \cdot 10^{20}$
8	Neptun	$2.329 \cdot 10^5$	$2.329 \cdot 10^5$	$1.704 \cdot 10^{11}$	0.112	$3.399 \cdot 10^{-10}$	$1.904 \cdot 10^{20}$

Coloana 7 a tabelului 8.2.1.1 conține valorile accelerației ecliptice solare medii exprimate în m/s<sup>2</sup> produse de planeta  $i$ , iar în coloana 8 găsim intensitatea fluxului energetic transmis Soarelui de planeta  $i$  (intensitate echivalentă cu puterea medie  $Pmed$ ).

Comentariul 8.2.1.1: Dacă cunoaștem accelerația ecliptică solară medie provocată de planeta  $i$   $aesm_i$  atunci putem calcula forța medie  $Fmed_i = m_s \cdot aesm_i$ , (unde  $m_s$  este masa Soarelui), iar produsul dintre această forță și lungimea traiectoriei eliptice solare datorate planetei  $i$  ( $L_i$ ) ne dă lucrul mecanic  $W_i = Fmed_i \cdot L_i$ , adică energia transferată Soarelui în timpul unei perioade de către planeta respectivă. Raportul dintre această energie și durata perioadei  $T_i$  ne dă puterea medie  $Pmed_i$ .

Accelerația ecliptică solară datorată lui Jupiter  $aes_{Ju} = 1.4223... 1.7251$  km/zi<sup>2</sup> ne dă o valoare medie de  $2.108 \cdot 10^{-7}$  m/s<sup>2</sup>, de 11 ori mai mare decât cea produsă de Saturn. Faptul că aria elipsei mărginită de traiectoria solară produsă de Jupiter este mai mare decât aria ecuatorială solară înseamnă că rotorul forței de atracție Soare-Jupiter este distribuit pe o arie ce include atât interiorul solar cât și atmosfera solară (se întinde pe încă  $4.666 \cdot 10^4$  km înafara Soarelui).

Aria orbitei solare datorată lui Neptun este de  $S_7 = 1.7041 \cdot 10^{11}$  km<sup>2</sup> (11.2% din aria solară), dar accelerația orbitală solară produsă este foarte mică ( $aes_{Ne} = 0.00249... 0.00258$  km/zi<sup>2</sup>), de 60 de ori mai mică decât cea produsă de Saturn.

Rezultatul acestor estimări dovedește că posibila influența a planetelor asupra activității solare este dată în mare parte de planetele Jupiter și Saturn, dar preponderent de Jupiter.

### 8.3 - Analiza accelerației radiale solare

În cazul analizei accelerației radiale solare, vom restrânge intervalul de analiză al distribuțiilor distanței solare față de CM la perioada 1590-2050, astfel incluzând atât perioada ciclurilor solare cunoscute, cât și intervalul cunoscut ca "Maunder minimum" (1645 – 1715) în care este menționată o absență (sau un număr redus) de pete solare. În fig. 8.3.1 avem distribuția distanței solare față de CM, în fig. 8.3.2 distribuția vitezei radiale și în fig. 8.3.3 accelerația radială solară.

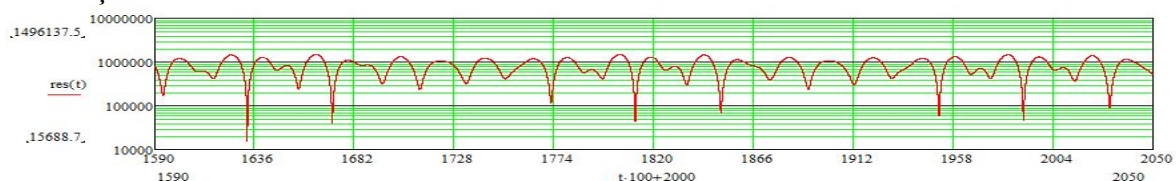


Fig. 8.3.1  $res(t)$  1590-2050 log

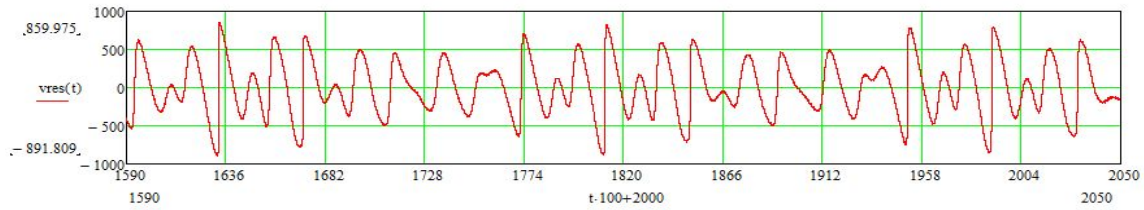


Fig. 8.3.2  $v_{res}(t)$  1590-2050

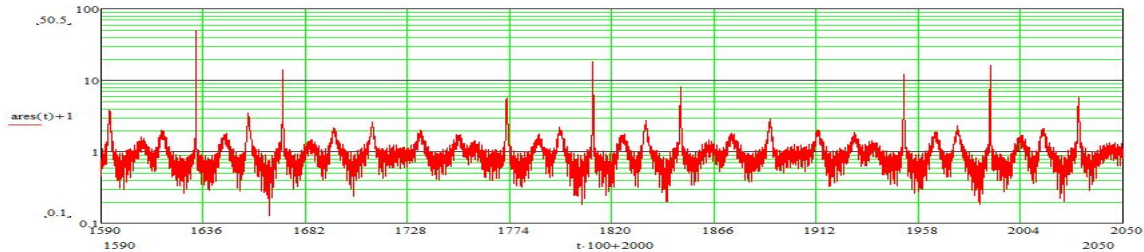


Fig. 8.3.3  $ares(t)$  1590-2050 log

Am văzut în par. 2.4 unde am analizat distribuțiile distanței solare față de CM că parametrul  $ares(t)$  (acelerația radială solară în coordonate ecliptice, vezi fig. 2.4.3) are o distribuție temporală extrem de neuniformă, având la anumite momente valori foarte mari.

Din fig. 8.3.3 (o expandare a fig. 2.4.3) observăm că accelerația radială are niște vârfuri (picuri) grupate câte trei (tripleți), din care cel central este mai mare. Distanța temporală dintre picurile centrale este de 178.8 ani (perioadă numită “ciclu José” în [7]), iar dintre picurile unui triplet de 39 de ani. Cel mai mare vârf de  $ares(t)$  din anul 1632.6 cu amplitudinea 50 ar putea marca începutul intervalului Maunder, pe baza supoziției că accelerația radială pare să inhibe activitatea solară periodică nu să o stimuleze.

Comentariul 8.3.1: Valoarea medie a vârfului accelerației radiale solare de  $50 \text{ km/zi}^2$  este doar  $14.923 \text{ km/zi}^2$  dacă vom calcula accelerația medie ca  $\Delta v/\Delta t$ , unde  $\Delta v$  și  $\Delta t$  se stabilesc pe baza graficului expandat din fig. 8.3.2. Vom converti valorile accelerației de la  $\text{km/zi}$  la  $\text{m/s}$ :  $1 \text{ km/zi} = 0.01157 \text{ m/s}$ ,  $1 \text{ km/zi}^2 = 1.33959 \times 10^{-7} \text{ m/s}^2$ . La o accelerație de  $14.923 \text{ km/zi}^2$  corespunde una de  $1.999 \times 10^{-6} \text{ m/s}^2$ . Ținând cont că masa Soarelui este de  $1.9891 \times 10^{30}$  rezultă o forță ( $F=ma$ ) de  $3.978 \times 10^{24} \text{ N}$  adică un flux energetic de  $3.978 \times 10^{24} \text{ J/s}$  furnizat medului interior solar, flux aperiodic ce nu poate influența procesele periodice<sup>22</sup> din cadrul așa numitei “activități solare”, dar le poate perturba. Este însă posibil ca anumite evenimente aperiodice ale activității solare (explozii, emisii anormale de plasmă etc.) să fie provocate de aportul energetic deosebit de mare al acestor vârfuri de accelerație.

## 9 - Concluzii

1. Mișcarea unui CA din sistemul planetar (inclusiv a Soarelui) este influențată de mișcarea **CA exterioare**. Una din cele mai neașteptate urmări a acestei observații este influența Terrei asupra mișcării lui Mercur (vezi tabelul 3.8.1), pe lângă influența planetelor gigant;

2. În [5] datorită faptului că modelarea mișcărilor planetare era pur teoretică (fără un suport temporal real) importanța accelerației radiale solare în activitatea solară periodică a fost mult supraevaluată. În prezentul studiu în care este analizată mișcarea în timp real a planetelor după tabelele efemeridelor, s-a putut constata influența esențială asupra activității solare periodice a accelerației orbitale solare și influența mult redusă a accelerației radiale;

3. Din tabelele cu frecvențele orbitale planetare se observă câteva detalii interesante:

- $f_{Sa0} - f_{Ur0} = 6.9855 \times 10^{-10} \text{ Hz}$  (frecvență la care corespunde o perioadă  $T = 16568.71$  zile, eroare 1.13% față de  $2^{14}$  zile);
- $f_{Sa0} - f_{Ne0} = 8.834395 \times 10^{-10} \text{ Hz}$  ( $T = 13101.15$  zile, eroare -0.046% față de  $2^{17}/10$  zile);

<sup>22</sup> Un proces periodic poate fi influențat tot printr-o intervenție (interacțiune) periodică, fie constructivă (sinfazic), fie distructivă (antifazic).

De remarcat că este vorba de frecvențele naturale planetare (inversul perioadelor) nu de componente spectrale, din care rezultă alte relații ce implică puteri ale lui 2 față de relațiile discutate în [4];

4. Din analiza accelerației orbitale solare provocată de forțele gravitaționale ale planetelor ce înconjoară Soarele a rezultat (vezi tabelul 8.2.1.1) că puterea medie gravitațională primită de Soare de la toate planetele este de  $5.292 \cdot 10^{24}$  J/s, din care 98.77% de la Jupiter, 1.06% de la Saturn, 0.09% de la Venus, 0.06% de la Terra și cumulat sub 0,01% de la celelalte planete, aceasta fiind și proporția în care planetele din sistemul solar pot influența activitatea solară periodică.

5. Analiza accelerației radiale solare în intervalul 1590-2050 nu a evidențiat vreun efect asupra activității solare periodice, cu excepția posibilei suprimări a acestei activități în intervalul cunoscut ca "Maunder minimum" (1645 – 1715) în urma unui impuls masiv al *ares* din anul 1632 (echivalent cu un aport energetic de  $3.978 \cdot 10^{24}$  J/s, vezi comentariul 8.3.1). Totuși aportul masiv de energie furnizat întregii structuri solare de impulsurile de accelerație radială poate să influențeze procesele din interiorul solar, influență care să se manifeste în exterior sub forma erupțiilor de plasmă sau variații ale vântului solar.